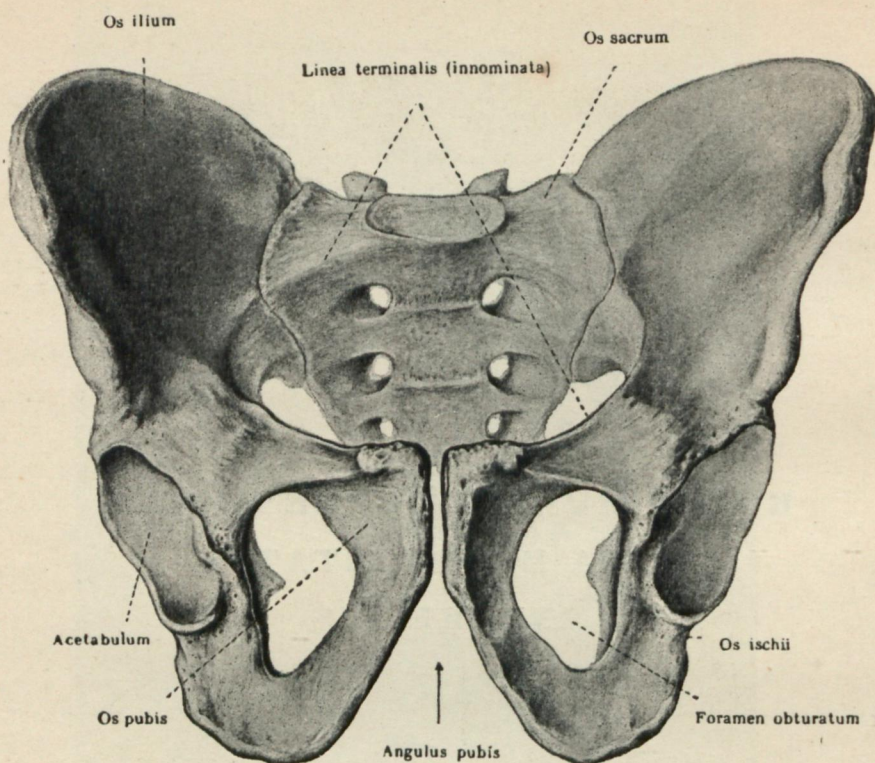


КОСТИ НИЖНЕЙ КОНЕЧНОСТИ
OSSA EXTREMITATIS
INFERIORIS



238а. Мужской таз, *pelvis virilis*, спереди (2/5).

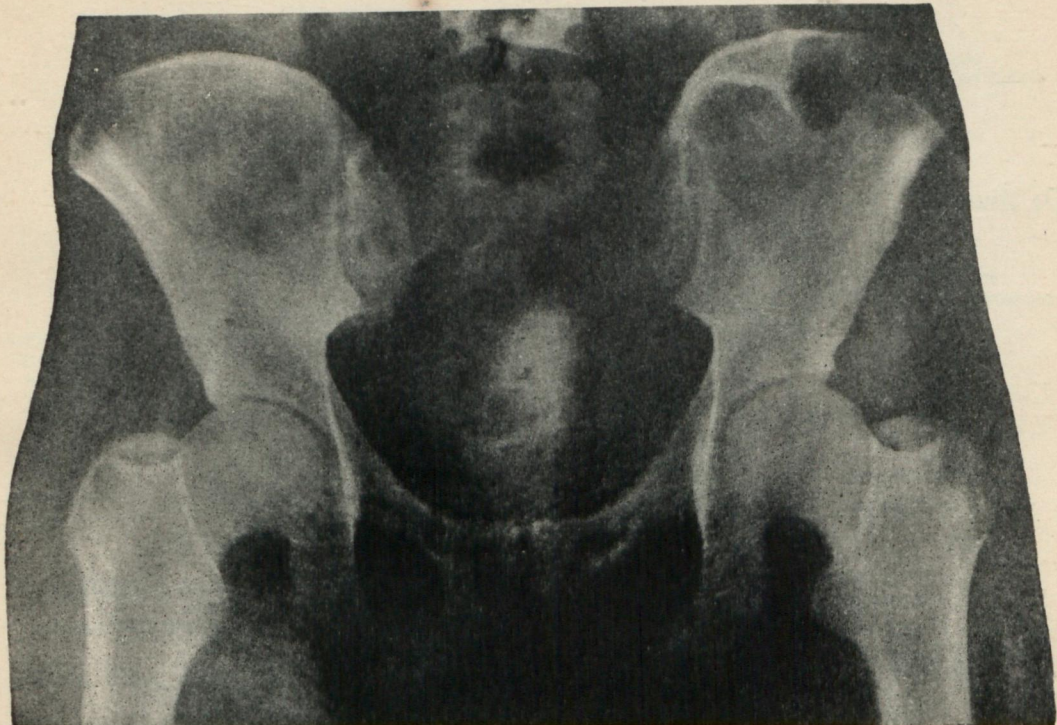
КОСТИ НИЖНЕЙ КОНЕЧНОСТИ, OSSA EXTREMITATIS INFERIORIS

Нижняя конечность, *extremitas inferior*, делится на пояс нижней конечности, *cingulum extremitatis inferioris*, и свободную часть, *pars libera extremitatis inferioris*. В последней различают бедро, *femur*, голень, *crus*, стопу, *pes*.

Пояс нижней конечности
Скелет пояса нижней конечности имеет вид плотного костного кольца, состоящего из двух безыменных костей, *os coxae*, дополняемого сзади крестцовойостью, *os sacrum*.

Безыменная кость

Безыменная кость, *os coxae*, *s. innominatum* (рис. 240—244), парная, неправильной формы, образована из трех костей: подвздошной, *os ilium*, составляющей верхне-задний отдел, седа-

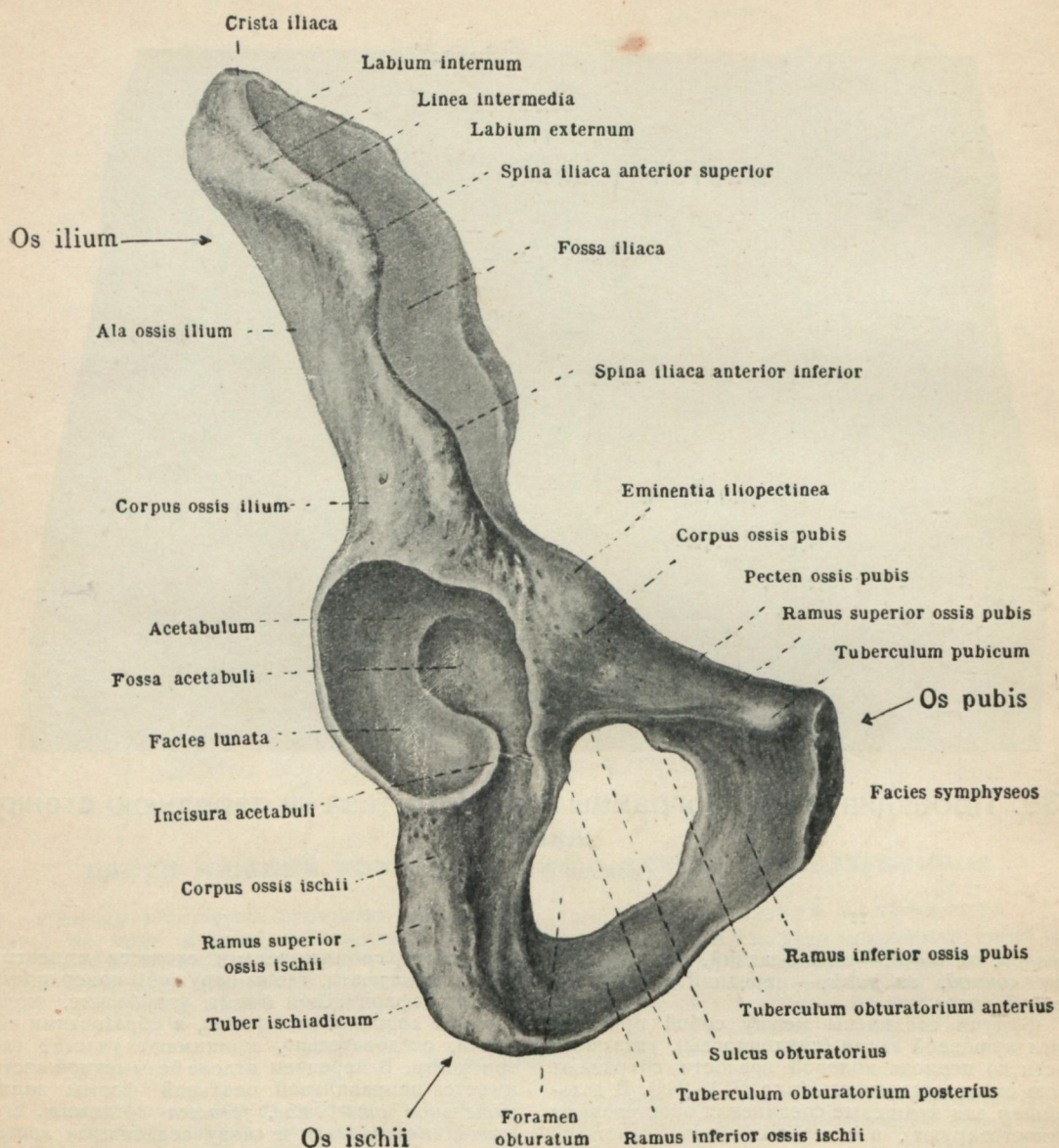


239. Проекция рентгенограммы женского таза на переднюю стенку живота
 (монтаж фото-рентген).

лицной, *os ischii*, — нижне-задний, и лобковой, или лонной, *os pubis*, — передний отдел безыменной кости.

Будучи соединены между собой прослойками хрящевой ткани (синхондрозы), указанные кости до периода половой зрелости сохраняют свою самостоятельность (рис. 243—244). В дальнейшем эти хрящевые соединения окостеневают (синостозируют), и отдельные кости, срастаясь между собой, образуют безыменную кость. Все

три кости своими телами сходятся к центру безыменной кости, где на наружной поверхности имеется сферической формы углубление, вертлужная впадина, *acetabulum*, в образовании которой, следовательно, принимают участие все три кости. В переднем отделе безыменной кости имеется неправильной овальной формы запирательное отверстие, *foramen obturatum*. Его ограничивают сзади и снизу седалищная кость, а спереди и сверху лобковая кость.

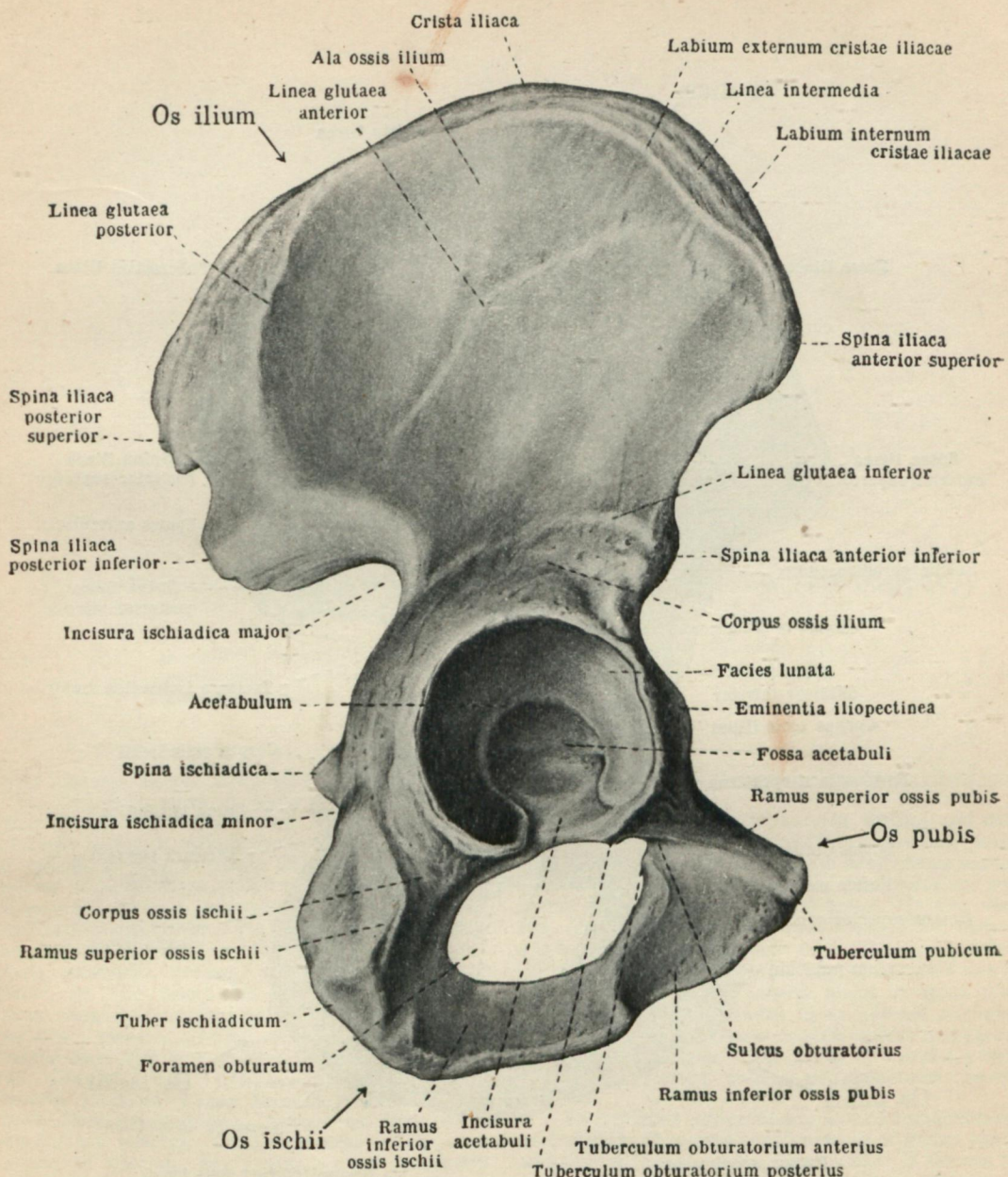


240. Безыменная кость, *os coxae*, правая; спереди и несколько снизу ($\frac{3}{5}$).

Подвздошная кость

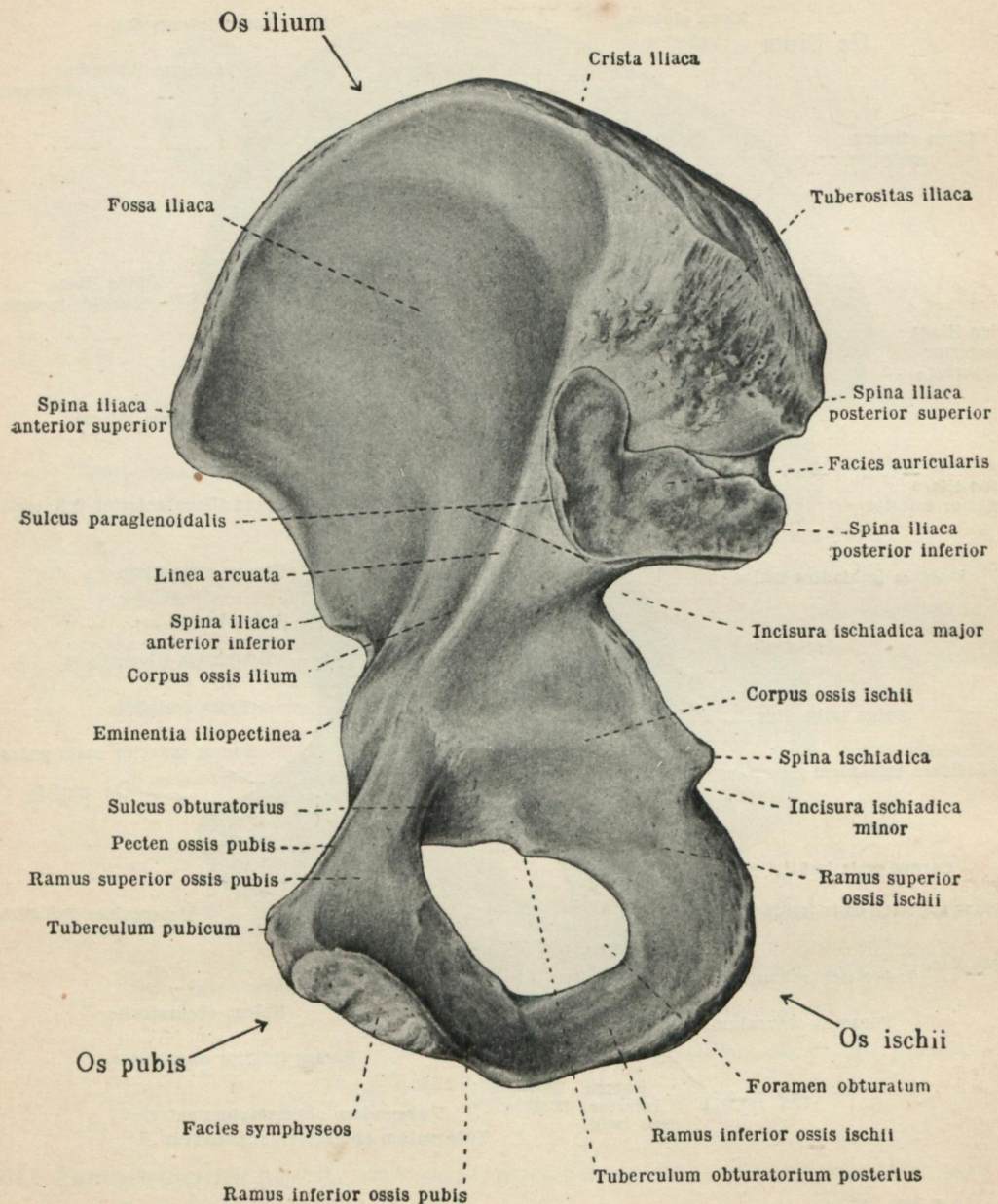
В подвздошной кости, *os ilium*, различают две части: одну, нижнюю, утолщенную часть — тело, *corpus ossis ilium*, которым она прини-

мает участие в образовании вертлужной впадины, *acetabulum*, и другую — верхнюю плоскую, в центре истонченную, — крыло, *ala ossis ilium*.

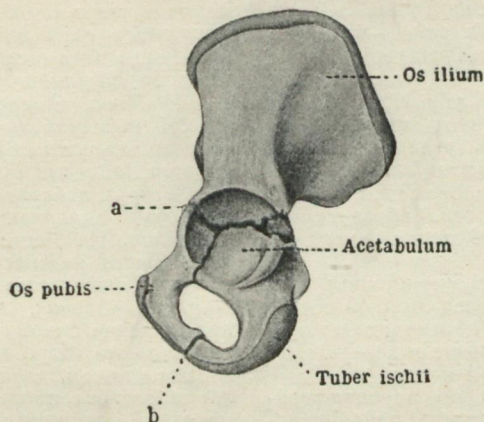
241. Безыменная кость, *os coxae*, правая; снаружи (^{3/5}).

Границей между телом и крылом является хорошо выраженная на внутренней поверхности кости дугообразная линия, *linea arcuata*. Верхний утолщенный, свободный край крыла под-

вздошной кости обозначается подвздошным гребешком, *crista iliaca*. Края гребешка заострены, шероховаты; их называют губами — наружной, *labium externum*, и внутренней, *labium internum*.



242. Бездыменная кость, *os coxae*, правая; снутри (^{3/5}).



243. Несращенная безыменная кость ребенка (по Sappey)

a — место хрящевого соединения подвздошной и лобковой костей — *eminentia ilipectinea*;

b — место хрящевого соединения лобковой и седалищной костей.

Между ними, вдоль гребешка, располагается третья шероховатость в виде *промежуточной линии*, *linea intermedia*. Все эти образования являются местами прикрепления мышц брюшной стенки и спины. *Crista iliaca* заканчивается впереди хорошо выраженным выступом, *передней верхней остью подвздошной кости*, *spina iliaca anterior superior*. Ниже ее, по переднему краю крыла, имеется вырезка, разделенная *передней нижнейостью*, *spina iliaca anterior inferior*, на две части. Из них верхняя, ограниченная сверху *spina iliaca anterior superior* и снизу *spina iliaca anterior inferior*, описывается под названием большой подвздошной вырезки, *incisura iliaca* (Henle), или полуулунной, *incisura semilunaris*. Нижняя малая подвздошная вырезка, *incisura iliaca minor* (Henle), находится ниже *spina iliaca anterior inferior*. Она подходит к границе с лобковойостью, где имеется след сращения обеих костей в форме *подвздошно-гребешкового возвышения*, *eminentia ilipectinea*.

У заднего конца *crista iliaca* находится *задняя верхняя ость подвздошной кости*, *spina iliaca posterior superior*, а несколько ниже, по заднему краю крыла, имеется *задняя нижняя ость*, *spina iliaca posterior inferior*. Задний край крыла подвздошной кости, лежащий ниже *spina iliaca posterior inferior*, имеет вид вырезки распространяющейся на седалищную кость, — боль-

шая седалищная вырезка, *incisura ischiadica major*.

На наружной поверхности крыла, *ala ossis ilium*, заметны три шероховатые линии, которые, соответственно названию ягодичных мышц, начинающихся в их пределах, обозначаются *ягодичными линиями*, *lineae glutaeae*. Из них нижняя, *linea glutaea inferior*, самая короткая, тянется над вертлужной впадиной; передняя, *linea glutaea anterior*, самая длинная, дугообразно направляется от *incisura ischiadica major* к *spina iliaca anterior superior*, и, задняя, *linea glutaea posterior*, располагается в заднем отделе крыла подвздошной кости от *spina iliaca posterior inferior* к *crista iliaca*; она имеет почти вертикальное направление.

Внутренняя поверхность крыла подвздошной кости гладка, равномерно вогнута и носит название *подвздошной ямки*, *fossa iliaca*. В заднем отделе ее, у заднего конца *linea arcuata*, располагается суставная, имеющая вид ушной раковины, *ушковидная поверхность*, *facies auricularis*. Этой поверхностью подвздошная кость сочленяется с крестцовой костью. По окружности *facies auricularis* бывает выражена иногда *околосуставная борозда*, *sulcus paraglenoidalis*.

Выше и кзади от *facies auricularis* имеется *подвздошная шероховатость*, *tuberositas iliaca*, являющаяся местом фиксации мощных связок.

Лобковая кость

Лобковая (лонная) кость, os pubis, составляет передний отдел безыменной кости. В ней различают **тело, corpus ossis pubis**, — верхнюю более плотную часть, принимающую участие в образовании вертлужной впадины, и две ветви: верхнюю и нижнюю, **ramus superior** и **inferior ossis pubis**, сходящиеся впереди под углом. Наружная поверхность угла занята шероховатой **поверхностью симфиза, facies symphyseos**, которая, соединяясь с одноименной поверхностью другой лобковой кости, образует по средней линии **лобковое соединение, symphysis ossium pubis**.

Ramus inferior ossis pubis своим нижним концом сращена с нижней ветвью седалищной кости. **Ramus superior ossis pubis** переходит в тело лобковой кости. Последнее выше и латеральное сращено с телом подвздошной кости.

На месте этого сращения по передне-верхнему краю кости имеется упомянутое **подвздошно-гребешковое возвышение, eminentia iliopectinea**.

Вдоль верхнего края **ramus superior ossis pubis**, заходя на тело лобковой кости, тянется **гребешок, pecten ossis pubis**, который является продолжением **linea arcuata ossis ilium** и вместе с ней образует **пограничную линию, linea terminalis, s. innominata**, отделяющую большой таз от малого. В переднем отделе **pecten ossis pubis**, несколько кнаружи от **facies symphyseos ossis pubis**, имеется **лобковый бугорок, tuberculum pubicum**.

Ветвями лобковой кости ограничено спереди и сверху **запирательное отверстие, foramen obturatum**. На месте перехода нижней поверхности **ramus superior ossis pubis** в тело лонной кости располагается хорошо заметная **запирательная борозда, sulcus obturatorius**, — место прохождения одноименных сосудов и нерва. Медиально эта борозда ограничена заостренным костным краем, **запирательным гребешком, crista obturatoria**, на протяжении которого замечен передний **запирательный бугорок, tuberculum obturatorium anterius**.

Седалищная кость

Седалищная кость, os ischii, составляет задне-нижний отдел безыменной кости. В ней, подобно лобковой кости, различают верхнюю утолщенную часть, **тело, corpus ossis ischii**, принимающее участие в образовании вертлужной впадины, и две ветви — верхнюю и нижнюю, **ramus superior** и **inferior ossis ischii**, расположенные под углом и ограничивающие вместе с ветвями лобковой кости запирательное отверстие.

Ramus superior ossis ischii вверху переходит в тело этой же кости. **Ramus inferior ossis ischii** передним концом сращена с задним концом **ramus inferior ossis pubis**.

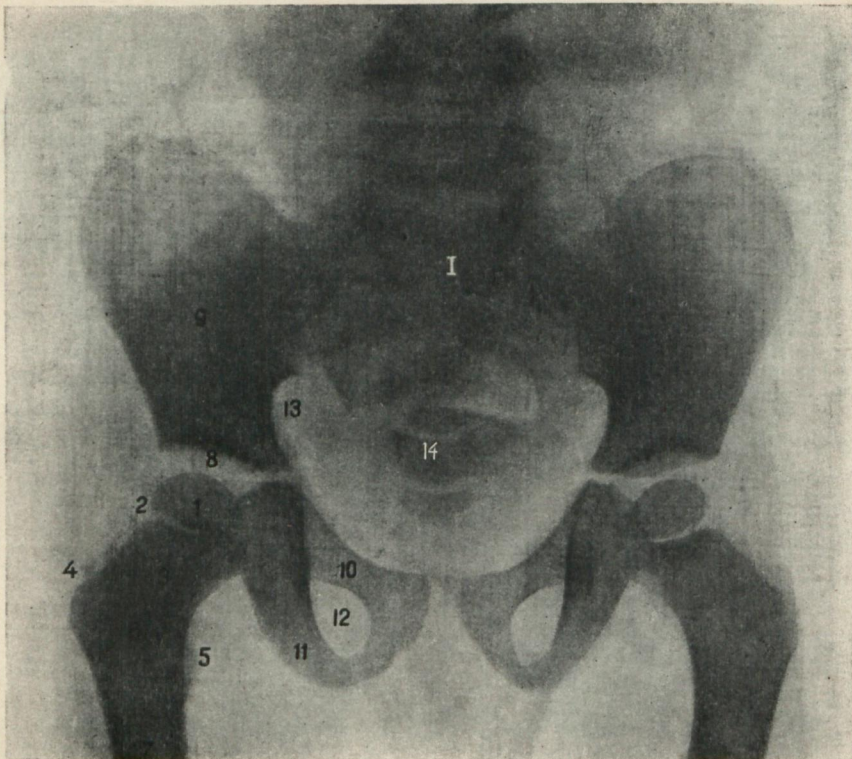
На наружной поверхности угла, где сходятся обе ветви седалищной кости, имеется хорошо развитый **седалищный бугор, tuber ischiadicum**. Выше его, по заднему краю верхней ветви

седалищной кости, имеется заостренный костный выступ, **седалищная ость, spina ischiadica**.

Вырезка, расположенная под **spina ischiadica** и ограниченная снизу **tuber ischiadicum**, называется **малой седалищной вырезкой, incisura ischiadica minor**.

Выше **spina ischiadica** располагается большая **седалищная вырезка, incisura ischiadica major**; она распространяется вверх и заходит на задний край крыла подвздошной кости вплоть до **spina iliaca posterior inferior**.

На месте перехода тела седалищной кости в ее верхнюю ветвь, на внутреннем крае последней, имеется бугорок, обращенный в запирательное отверстие — **задний запирательный бугорок, tuberculum obturatorium posterius**.



244. Таз и тазо-бедренные суставы ребенка 3 лет
(рентгеновский снимок).

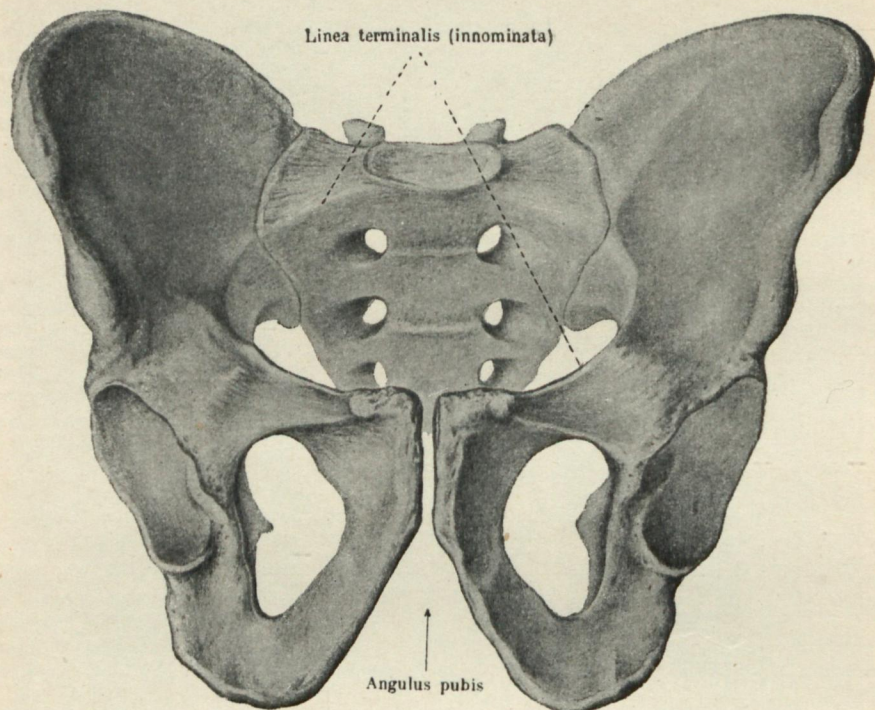
1 — columna vertebralis	6 — linea intertrochanterica	10 — os pubis
1 — caput femoris	7 — proximalnyy otdeл diafiza	11 — os ischii
2 — зона эпифизарного хряща	бедра	12 — foramen obturatum
3 — collum femoris	8 — acetabulum	13 — incisura ischiadica
4 — trochanter major	9 — os ilium	14 — os sacrum
5 — trochanter minor		

Вертлужная впадина

Вертлужная впадина, *acetabulum*,* достаточно глубокая и широкая сферической формы яма, которую образуют: в задне-нижнем сегменте тело седалищной кости, в передне-нижнем сегменте — тело лобковой кости, в верхнем сегменте — тело подвздошной кости. Край этой впадины утолщен, и в форме брови, *supercilium acetabuli*, нависает над ямой, за исключением лишь ниж-

него отдела, где имеется вырезка, *incisura acetabuli*. Наружная периферия вертлужной впадины образована за счет гладкой костной полулуинной поверхности, *facies lunata*, покрытой гиалиновым хрящом; с этой поверхностью сочленяется головка бедренной кости. Дно вертлужной впадины — вертлужная ямка, *fossa acetabuli*, имеет шероховатую поверхность, не покрытую гиалиновым хрящом.

* Дословно уксусник, уксусная чаша.



245. Мужской таз, *pelvis virilis*, спереди ($\frac{2}{5}$).

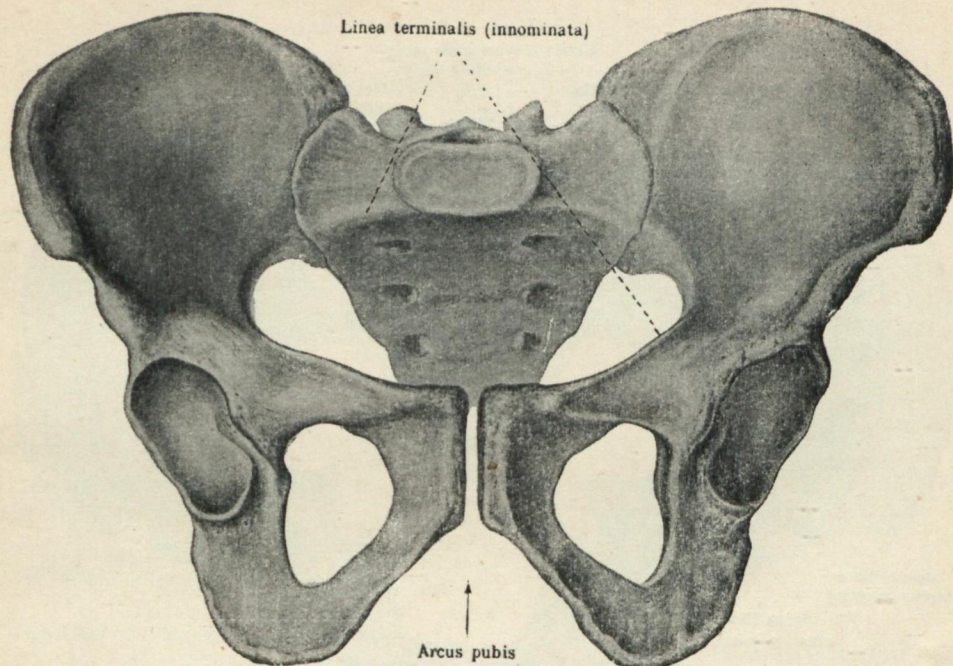
[Пограничная линия таза, *linea terminalis*, или безыменная линия, *linea innominata*, являясь границей между большим тазом, *pelvis major*, и малым, *pelvis minor*, окружает вход в полость малого таза, *apertura pelvis superior*.]

В образовании стенок *таза*, *pelvis* (рис. 245—252), принимают участие *os sacrum*, *os coccygis*, обе *ossa coxae* и ряд связок, заполняющих вырезки и отверстия (см. „Связки таза“).

Различают *большой таз*, *pelvis major*, и *малый*, *pelvis minor*. Границей между ними является

линия, называемая *пограничной*, *linea terminalis*, или *безыменная*, *linea innominata*.

Эта линия образуется за счет *promontorium*—сзади, *linea arcuata ossis ilium* и *pecten ossis pubis*—с боков, и верхней поверхности *symphysis ossium pubis*—спереди.



246. Женский таз, *pelvis muliebris*, спереди ($\frac{2}{5}$).

Таз

Костные стенки большого таза образуют— позвоночный столб сзади и alae ossis ilium с боков. Спереди большой таз не имеет костной стенки. Большой таз является вместилищем органов нижнего отдела брюшной полости.

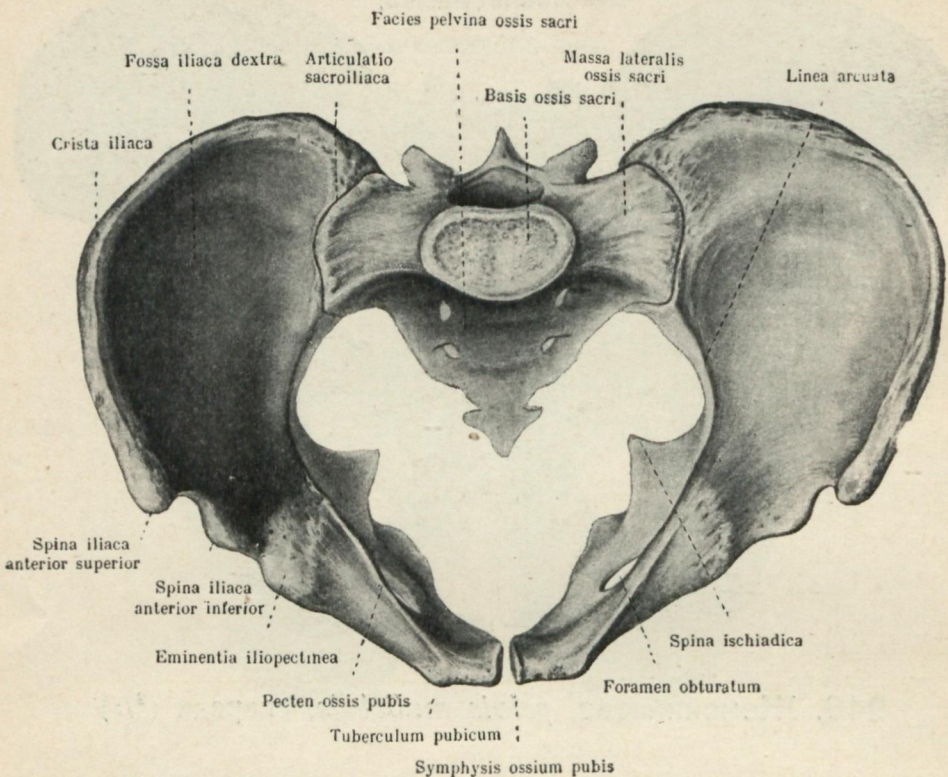
Костные стенки малого таза образуют— os sacrum и os coccygis сзади, ossa ischii и ossa pubis сбоков и спереди.

Малый таз имеет вид цилиндрической или слегка суженной книзу конусообразной полости и является вместилищем некоторых органов

мочеполовой системы и прямой кишки. Отверстие из большого таза в малый называют входом в малый таз, *introitus pelvis*, или верхним тазовым отверстием, *apertura pelvis superior*.

Оно ограничено упомянутой linea terminalis и имеет вид сплошного костного кольца.

Нижнее отверстие малого таза, *apertura pelvis inferior*, или иначе выход из таза, *exitus pelvis*, ограничено по бокам седалищными буграми и lig. sacrotuberosum (см. „Связки таза“),



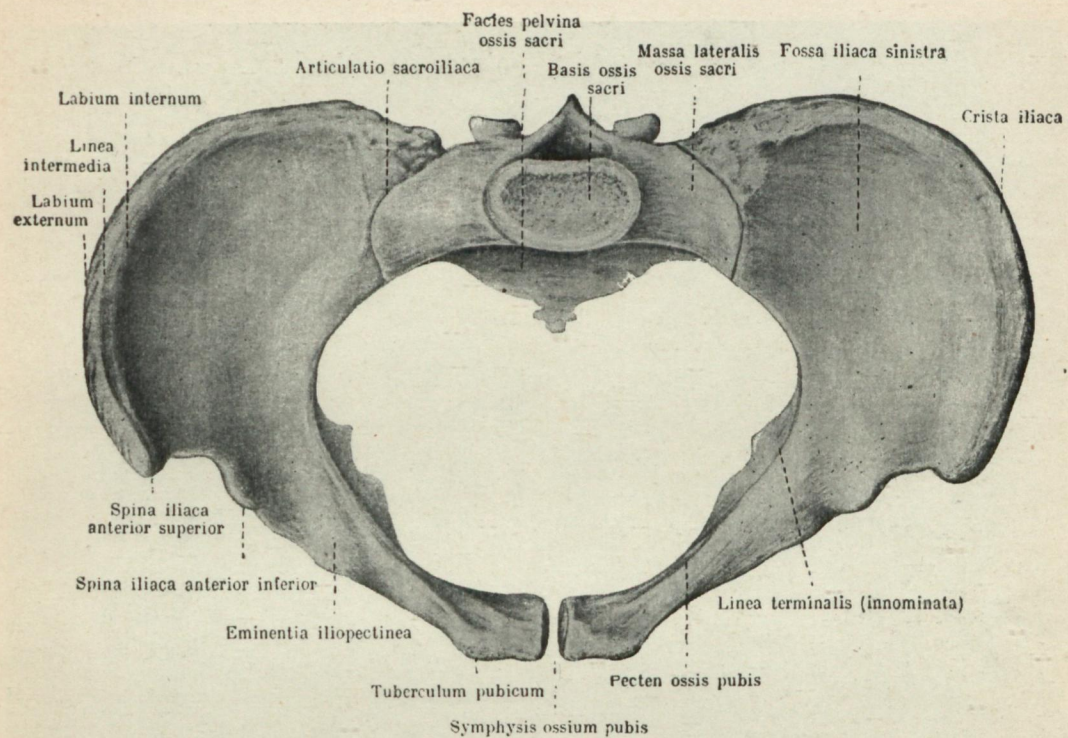
247. Мужской таз, *pelvis virilis*, сверху (2/5).

[Вход в полость малого таза, *apertura pelvis superior.*]

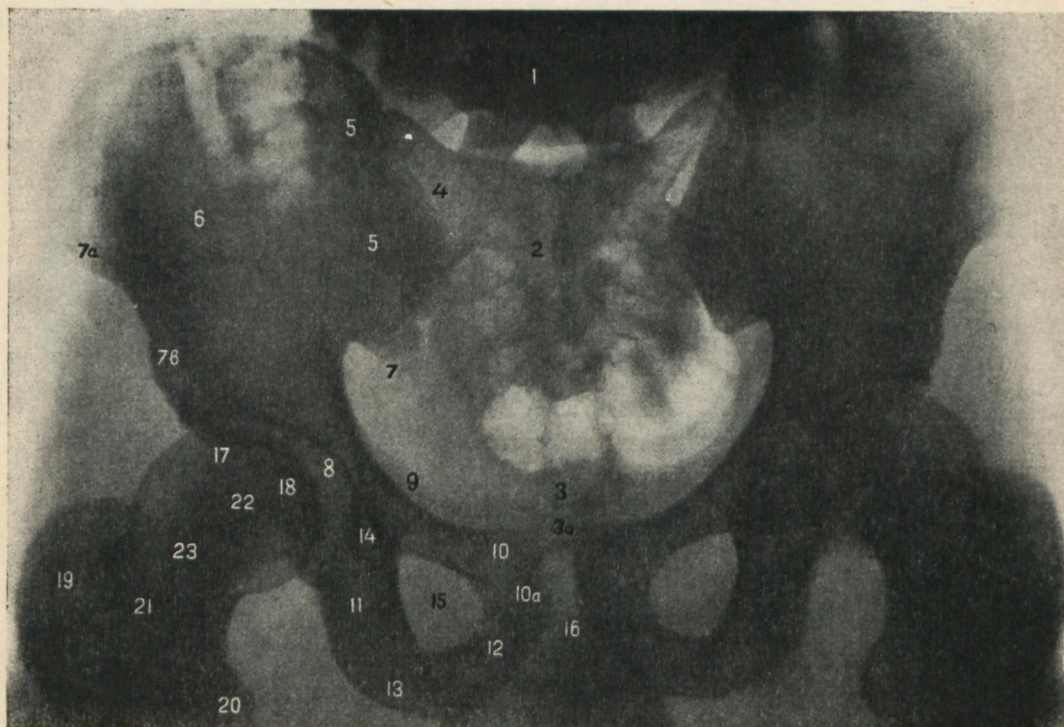
спереди — нижней поверхностью *symphysis ossium pubis* и сзади — копчиком.

В архитектуре таза резко выражены половые различия.

Сравнительные полевые признаки таза	Женщины	Мужчины
Общий вид таза	Шире и короче	Уже и выше
Крылья подвздошной кости поставлены	Более горизонтально Короче и шире	Более вертикально Уже и длиннее
Крестец		

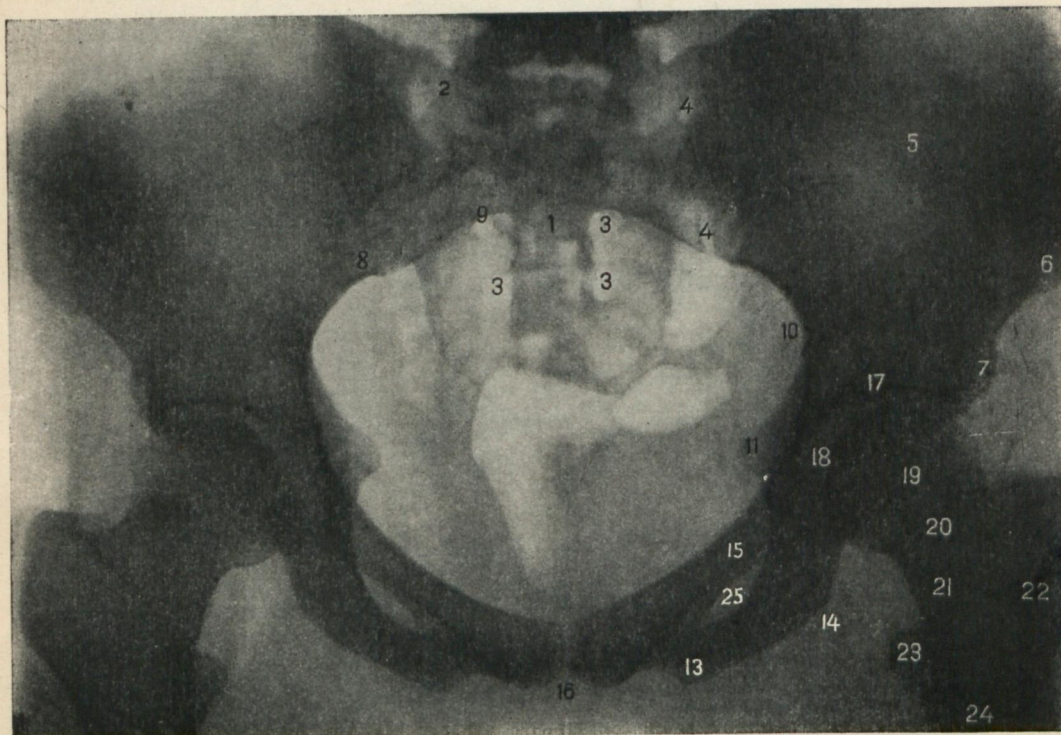
248. Женский таз, *pelvis muliebris*, сверху ($\frac{2}{5}$).[Вход в полость малого таза, *apertura pelvis superior*.]

Сравнительные половые признаки таза	Женщины	Мужчины
Нижние ветви лобковых костей сходятся под углом.	90–100° (лобковая дуга, <i>arcus pubis</i>) Цилиндрическая	70–75° (лобковый угол, <i>angulus pubis</i>) Конусообразная
Форма полости малого таза. Форма <i>apertura pelvis</i> спереди	Более округлая	„Карточное“ сердце, по причине большого выстояния вперед <i>promontorium</i>



**249. Таз и тазо-бедренные суставы взрослого
(рентгеновский снимок).**

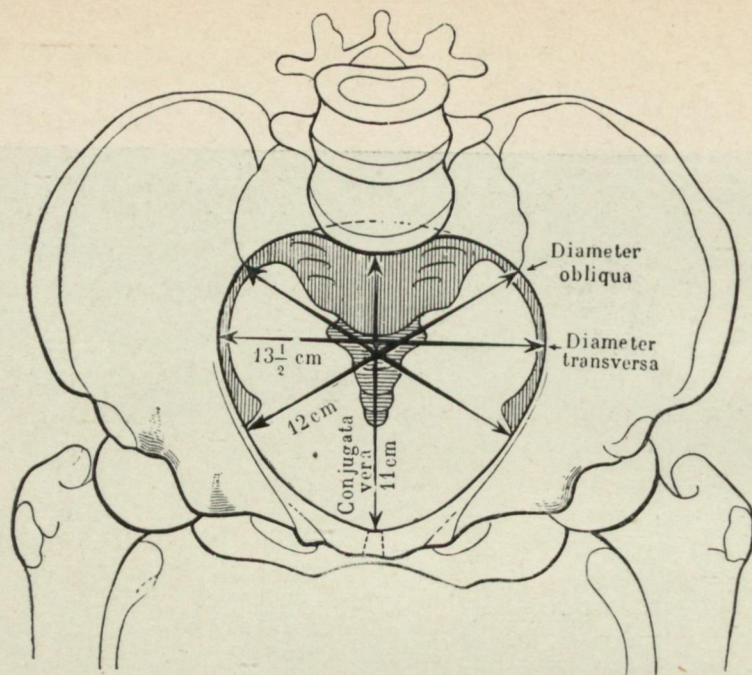
- | | | |
|-------------------------------------|----------------------------------|--------------------------------|
| 1 — vertebra lumbalis V | 8 — acetabulum | 16 — symphysis ossium pubis |
| 2 — os sacrum | 9 — spina ischiadica | 17 — задний край acetabuli |
| 3 — os coccygis | 10 — ramus superior ossis pubis | 18 — caput femoris |
| 4 — massa lateralis | 10a — os pubis | 19 — trochanter major |
| 5 — articulatio sacroiliaca | 11 — ramus superior ossis ischii | 20 — trochanter minor |
| 6 — ala ossis illi | 12 — ramus inferior ossis pubis | 21 — crista intertrochanterica |
| 7 — spina iliaca posterior inferior | 13 — tuber ischiadicum | 22 — linea epiphysaris capitis |
| 7a — spina iliaca anterior superior | 14 — corpus ossis pubis | 23 — collum femoris |
| 7b — spina iliaca anterior inferior | 15 — foramen obturatum | |



250. Вход в таз взрослой женщины

(рентгеновский снимок).

- | | | |
|-------------------------------------|---------------------------------|--|
| 1 — os sacrum | 10 — linea arcuata | 20 — collum femoris |
| 2 — massa lateralis | 11 — spina ischiadica | 21 — crista intertrochanterica и проекция linea intertrochanterica |
| 3 — foramina sacralia | 13 — ramus inferior ossis pubis | 22 — trochanter major |
| 4 — articulatio sacroiliaca | 14 — tuber ischii | 23 — trochanter minor |
| 5 — ala ossis illii | 15 — os pubis | 24 — проксимальный отдел диафиза бедра |
| 6 — spina iliaca anterior superior | 16 — symphysis ossium pubis | 25 — foramen obturatum |
| 7 — spina iliaca anterior inferior | 17 — acetabulum | |
| 8 — spina iliaca posterior inferior | 18 — fovea capititis | |
| 9 — promontorium | 19 — caput femoris | |



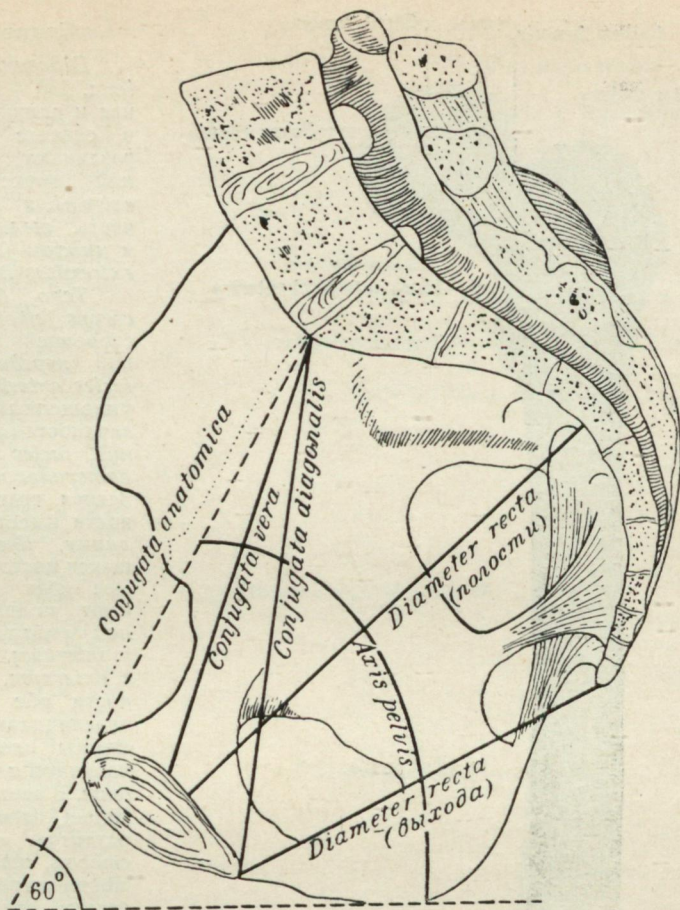
251. Диаметры входного отверстия таза ($\frac{1}{3}$) (по Schultze).

Под именем *ось таза, axis pelvis*, понимают линию, соединяющую середины передне-задних размеров (коньюгат) входа полости и выхода

малого таза. Она дугообразно изогнута и идет параллельно тазовой поверхности крестца.

Размеры таза *)	Женщины	Мужчины
A. Большого таза		
1. Distantia spinarum — расстояние между обеими spina iliaca anterior superior	23—25 см	На 2—3 см меньше
2. Distantia cristatum — наибольшее расстояние между обеими crista illiaca	25—27 см	
B. Малого таза		
a) Introitus pelvis		
1. Diameter recta (conjugata anatomica) расстояние между promontorium и верхним краем симфиза	11,5 см	10,8 см
2. Conjugata gynecologica, s. vera — расстояние между promontorium и наиболее выступающей кзади точкой симфиза	10,5—11 см	—
3. Diameter transversa (distantia transversa) — наибольшее расстояние между обеими linea terminalis	13,5 см	12,8 см
4. Diameter obliqua (distantia obliqua) — расстояние между подвздошно-крестцовыми сочленениями, articulatio sacroiliaca, одной и eminentia ilipectinea другой стороны	12—12,6 см	12—12,2 см
5. Conjugata diagonalis — расстояние между promontorium и нижним краем симфиза	12,5—13 см	—

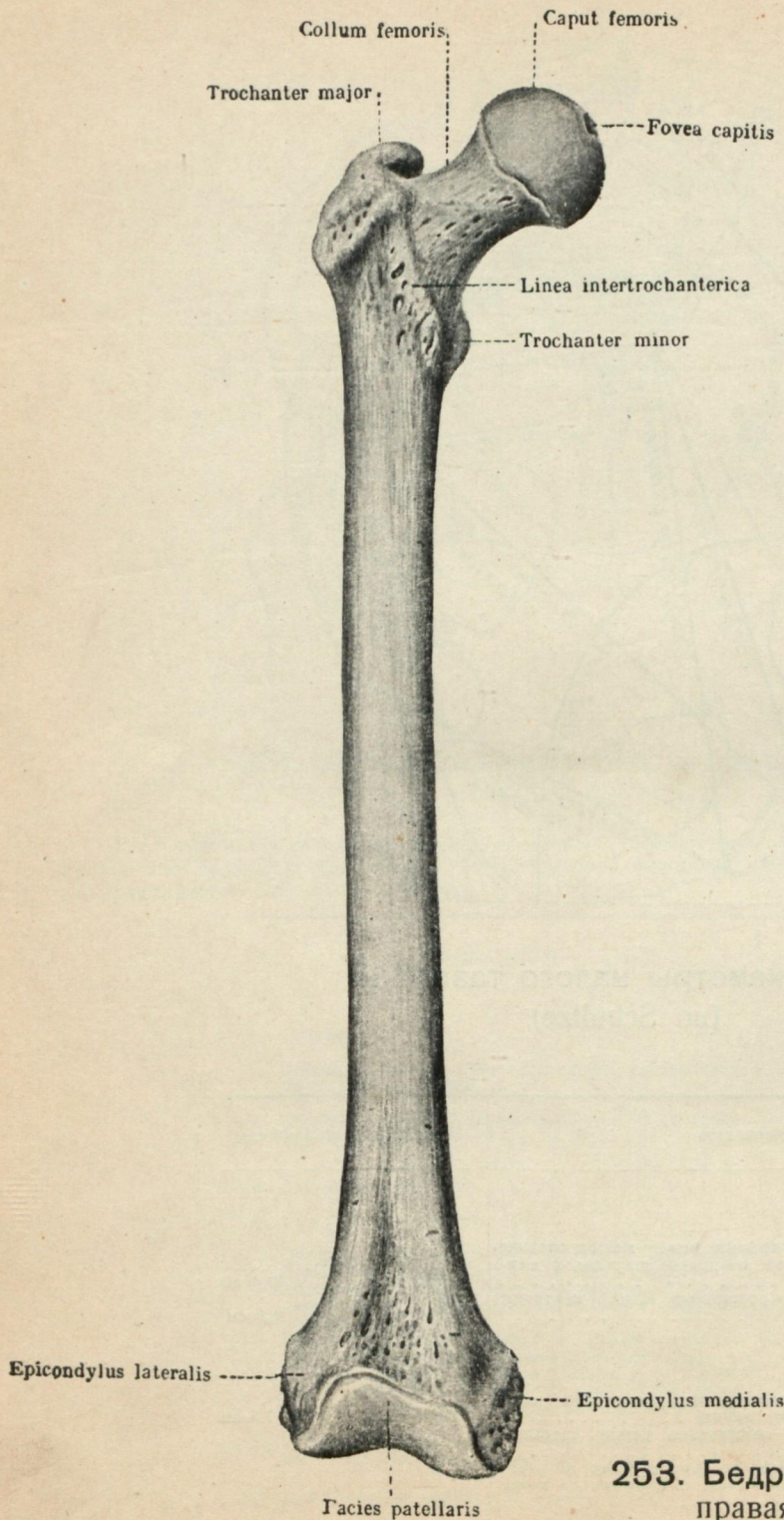
* П. В. Воробьеву (1932) и В. Тонкову (1933).



252. Диаметры малого таза ($\frac{1}{2}$)
(по Schultze).

Размеры таза	Женщины	Мужчины
б) С a v i u m p e l v i s		
1. Diameter recta — расстояние между местом соединения II и III крестцовых позвонков и срединой симфиза	12,2 см	10,8 см
2. Diameter transversa — расстояние между центрами вертлужных впадин	11,5 см	10,8 см
в) E x i t u s p e l v i s		
1. Diameter recta — расстояние между верхушкой копчика и нижним краем симфиза	9,5 см	7,5 см
2. Diameter transversa — расстояние между седалищными буграми	10,8 см	8,1 см
С. Наклон таза (inclinatio pelvis) измеряется углом, образуемым горизонтальной плоскостью с плоскостью входа в малый таз	55—60°	50—55°

Бедренная кость



Бедренная кость

Бедренная кость, *femur* (рис. 253 — 261), самая крупная и длинная трубчатая кость в скелете человека. В ней различают три части: *верхний* (проксимальный) конец, *extremitas superior*, среднюю часть, *тело*, *corpus femoris*, и *нижний* (дистальный) конец, *extremitas inferior*.

Тело бедренной кости, *corpus femoris*, имеет вид трехсторонней призмы с выпуклой передней поверхностью, *facies anterior*, и двумя более уплощенными задними поверхностями: задне-медиальной, *facies medialis*, и задне-латеральной, *facies lateralis*. Задняя грань тела бедренной кости имеет вид шероховатой линии, *linea aspera*, являющаяся местом фиксации мышц. Два края этой линии называются внутренней и наружной губами, *labium mediale s. internum*, и *labium laterale s. externum*. В нижнем отделе кости обе губы, расходясь, ограничивают треугольной формы площадку — дно подколенной ямки, *planum popliteum*. В верхнем отделе кости *labium laterale* переходит в разлитую ягодичную бугристость, *tuberositas glutaea*¹, а *labium mediale* — в гребешковую линию, *linea pectinea*.

По бокам *linea aspera* залегает ряд питательных отверстий, *foramina nutriticia*.

Верхний, проксимальный, конец бедренной кости, *extremitas superior (s. proximalis) femoris* (рис. 256 — 258), сочленяется с вертлужной впадиной тазовой кости. В нем различают сферической формы головку бедра, *caput femoris*.

Головка покрыта гиалиновым хрящом, за исключением небольшого углубления, расположенного в центре головки, так называемой ямки головки, *fovea capitis femoris*. Следующий суженный отдел кости, находящийся под головкой, называют шейкой,

¹ Хорошо развитая ягодичная бугристость получает иногда название третьего вертела, *trochanter tertius*.

253. Бедренная кость, *femur*, правая; спереди ($\frac{3}{8}$).

collum femoris. На месте перехода шейки в тело имеются два отростка, вертелы. Более мощный, расположен на верхне-латеральной поверхности, *большой вертел, trochanter major*, хорошо прощупываемый под кожей (рис. 259), и менее выраженный, залегает на задне-медиальной поверхности, *малый вертел, trochanter minor*. У основания trochanter major заметно углубление — ямка, *fossa trochanterica*. Между обоими вертелями, по задней поверхности кости, тянется *межвертельный гребешок, crista intertrochanterica*, и по передней поверхности — *межвертельная линия, linea intertrochanterica*.

Длинные оси шейки и тела расположены под тупым углом, причем угол этот у женщин приближается к прямому.

Нижний, дистальный, конец бедренной кости, extremitas inferior (s. distalis) femoris (рис. 260, 261), утолщен, особенно в попечном направлении. В нем различают два выступа — *медиальный мышелок, condylus medialis*, и *латеральный мышелок, condylus lateralis*, отделенные один от другого глубокой *межмышелковой ямкой, fossa intercondyloidea*. Ямка эта ограничена от расположенной выше *planum popliteum* *межмышелковой линией, linea intercondyloidea*.

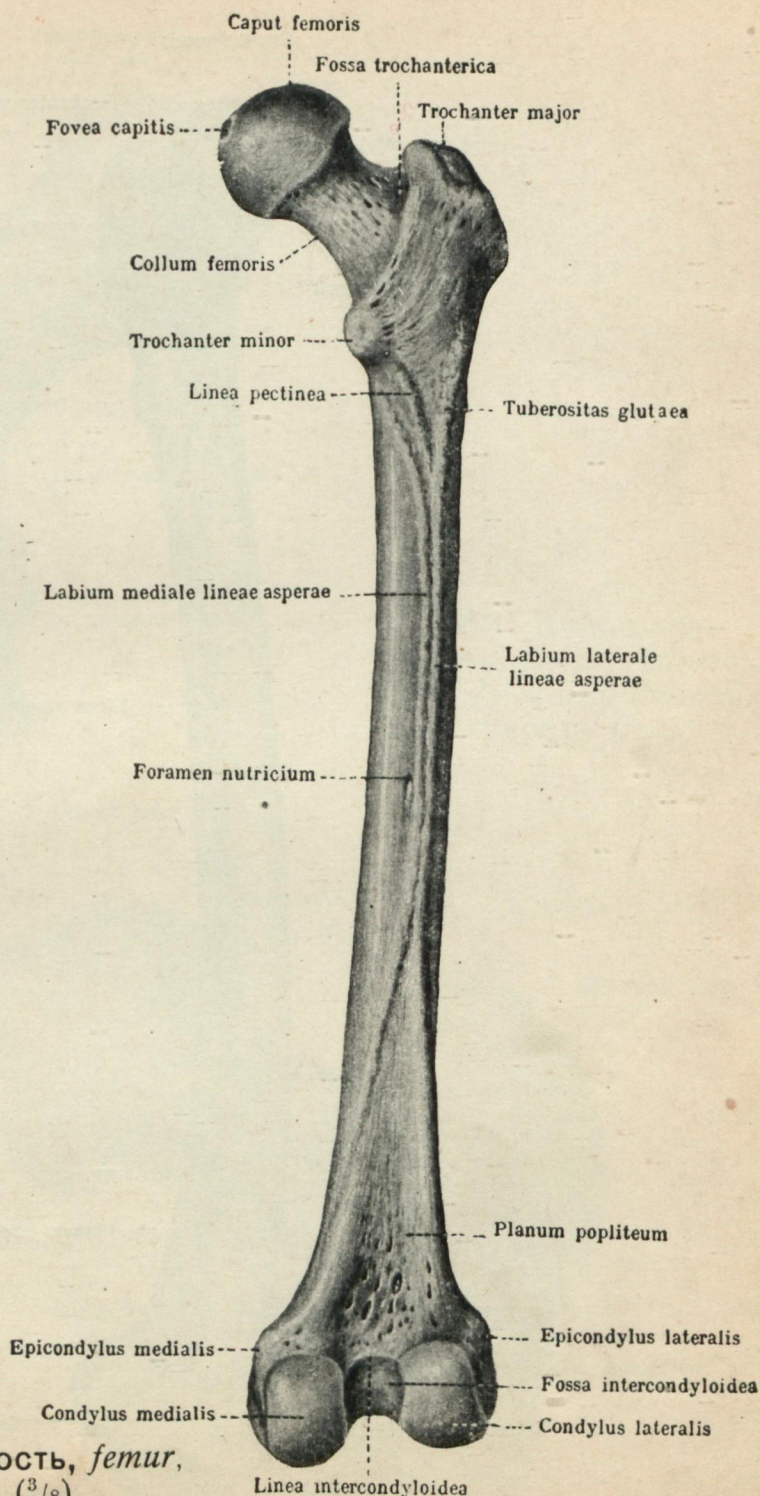
Condylus medialis более развит и, вследствие этого, бедренная кость, имея опору одновременно на оба мышелка, стоит несколько наклонно. Оба мышелка покрыты гиалиновым хрящом и сочленяются с большеберцовой костью голени.

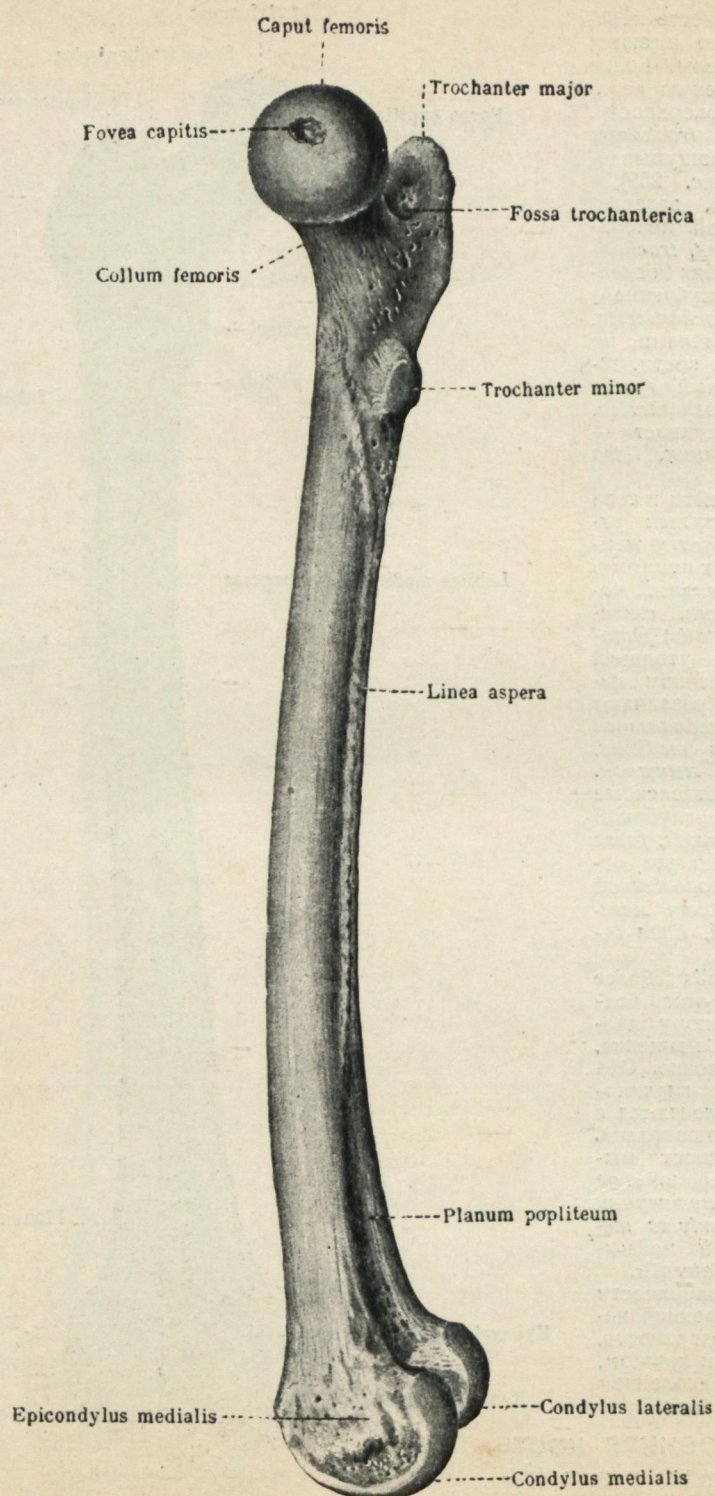
Боковые поверхности мышелков несут шероховатые возвышения — *внутренний надмышелок, epicondylus medialis*, и *наружный надмышелок, epicondylus lateralis*.

На передней поверхности нижнего конца бедренной кости видна гладкая поверхность, покрытая гиалиновым хрящом, сочленяющаяся с надколенной чашкой, *facies patellaris*.

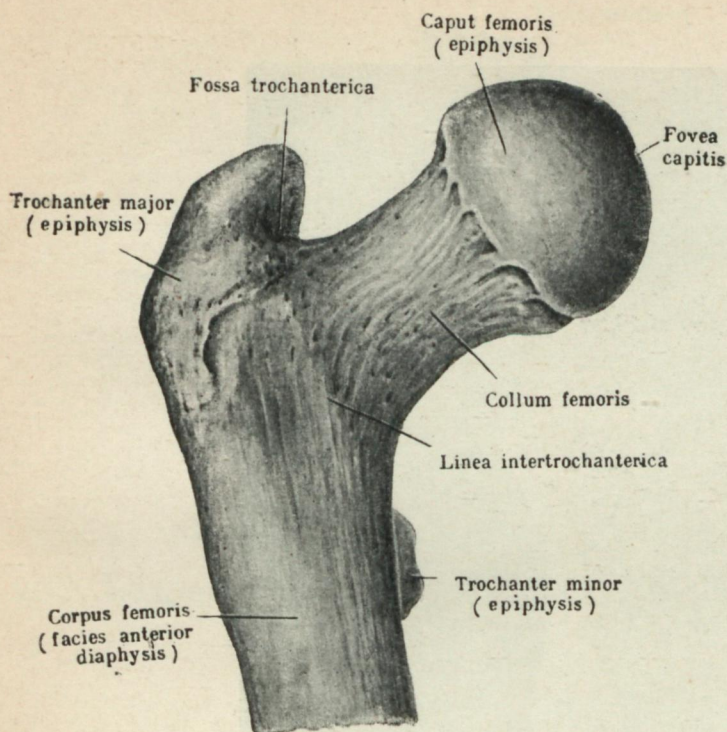
254. Бедренная кость, *femur*,

правая; сзади ($\frac{3}{8}$).

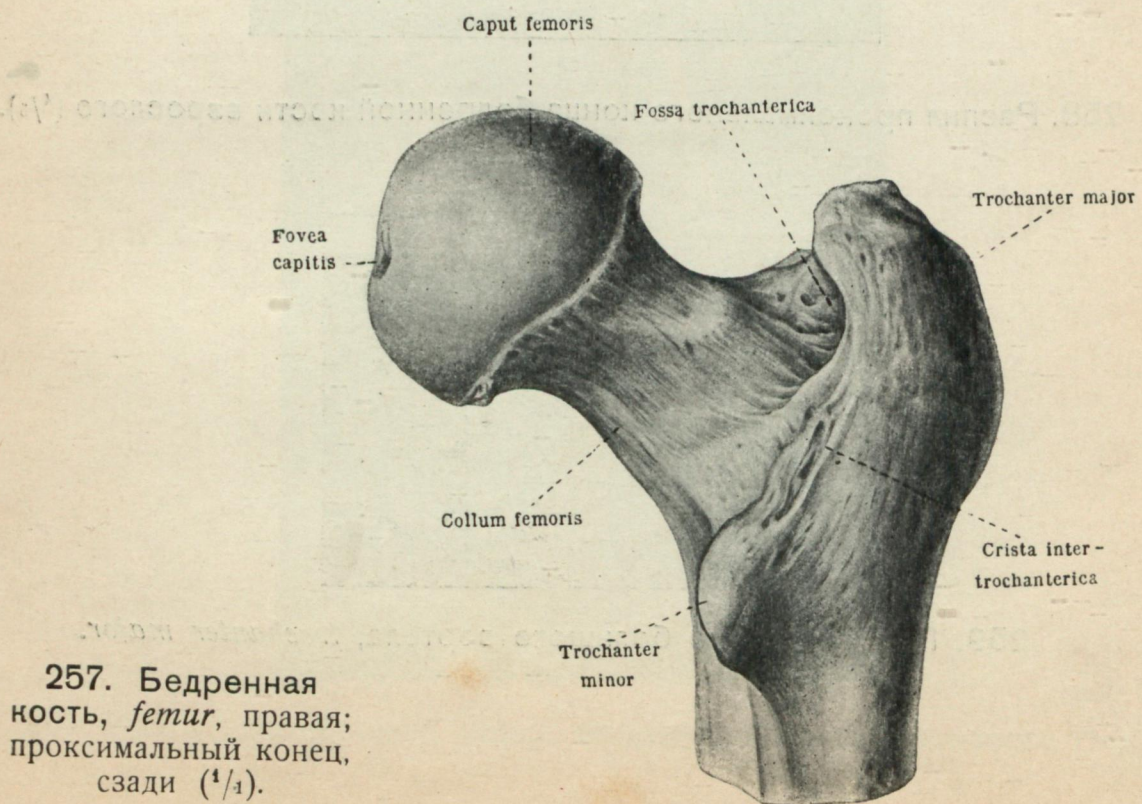




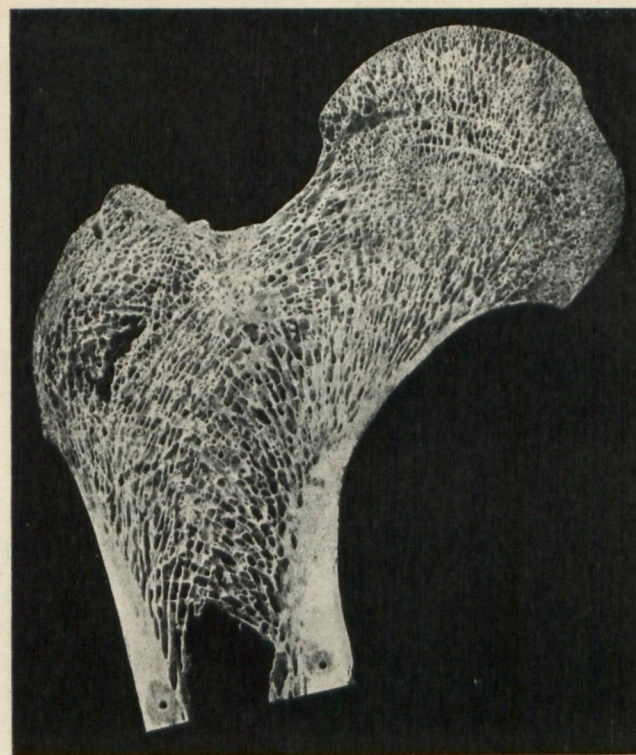
255. Бедренная кость, *femur*, правая; снутри ($\frac{3}{8}$).



256. Бедренная
кость, *femur*, правая;
проксимальный конец,
спереди ($\frac{2}{3}$).



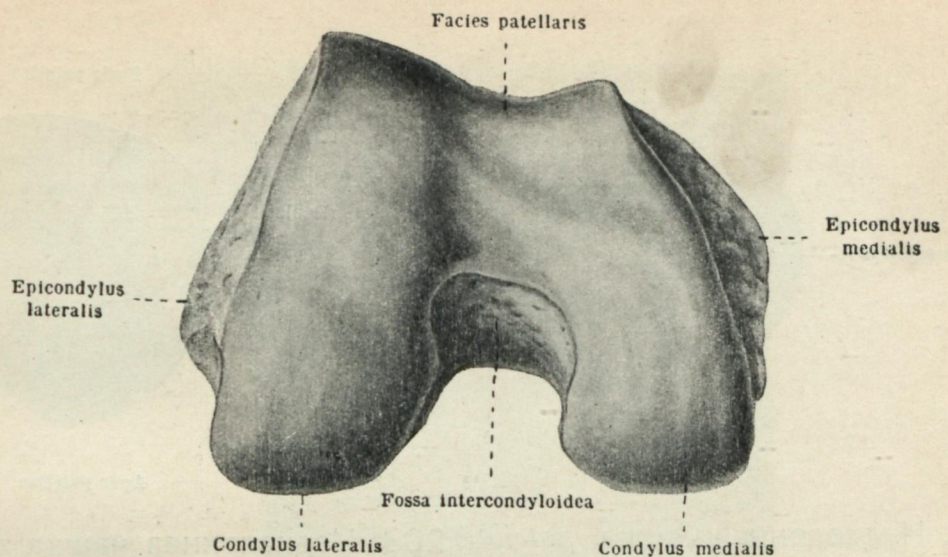
257. Бедренная
кость, *femur*, правая;
проксимальный конец,
сзади ($\frac{1}{4}$).



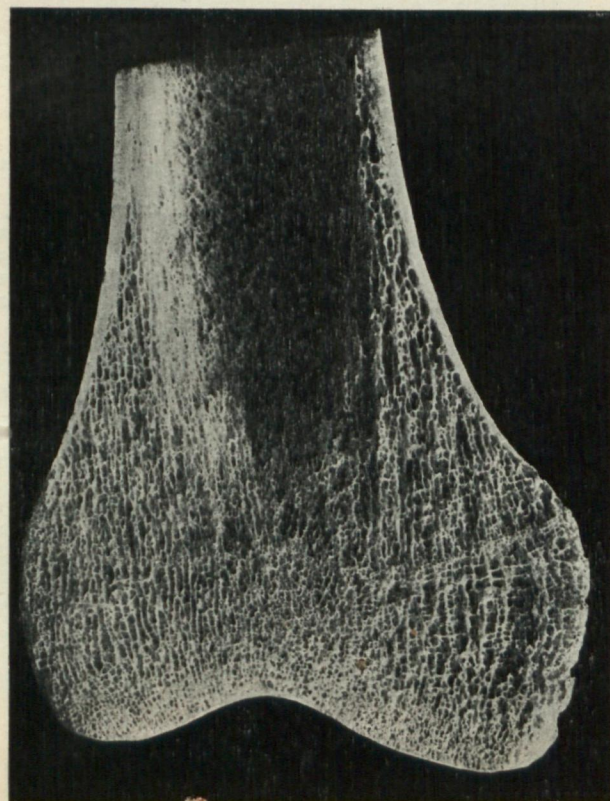
258. Распил проксимального конца бедренной кости взрослого ($\frac{4}{5}$).



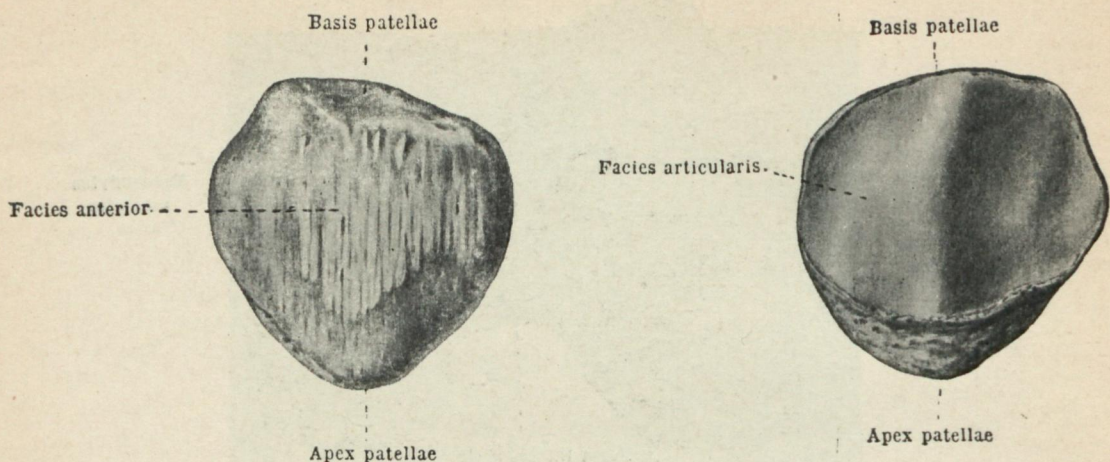
259. Прощупывание большого вертела, *trochanter major*.



260. Бедренная кость, *femur*, правая; дистальный конец, снизу ($\frac{4}{5}$).



261. Распил дистального конца бедренной кости взрослого ($\frac{4}{5}$).



262. Надколенная чашка, *patella*, 263. Надколенная чашка, *patella*,
правая; спереди ($\frac{4}{5}$). правая; сзади ($\frac{4}{5}$).

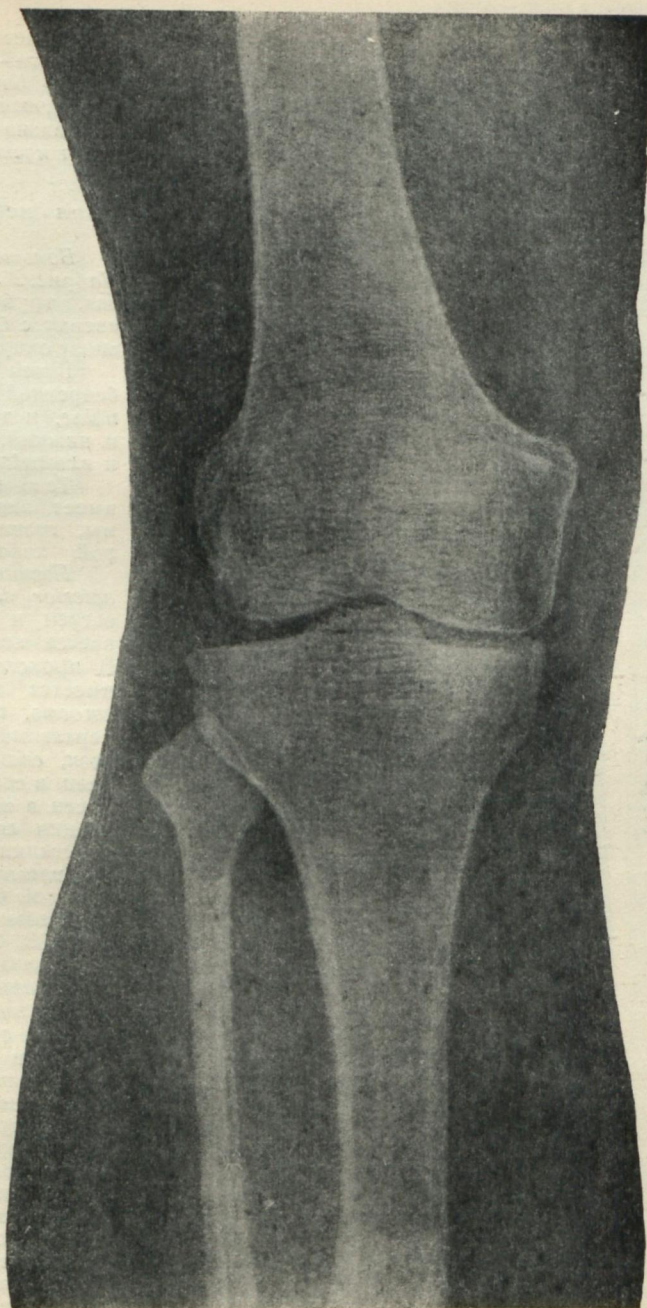


264. Прощупывание
надколенной чашки.

Надколенная чашка

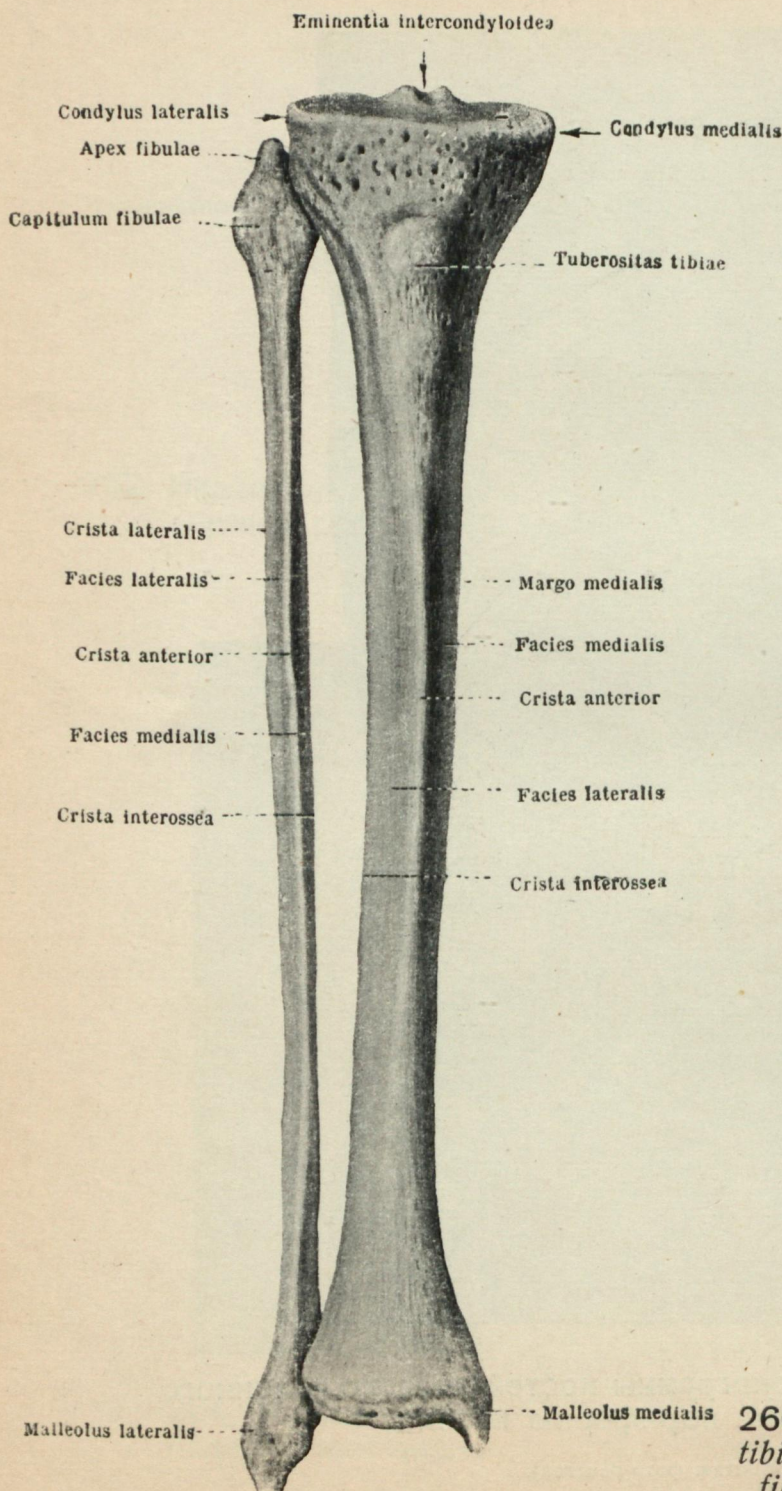
Надколенная чашка, *patella* (рис. 262—264), самая крупная сесамовидная кость, развившаяся в толще сухожилия четырехглавой мышцы бедра и легко прощупываемая через кожу (рис. 264). В ней различают две поверхности — переднюю, шероховатую, и заднюю, гладкую, покрытую гиалиновым хрящом, суставную поверхность, *facies articularis*. Последняя вертикальным возвышением — суставным гребешком, *crista gelenkoidalis*, делится на две части — большую, латеральную, и меньшую, медиальную. Этими поверхностями *patella* обращена в полость коленного сустава и сочленяется с *facies patellaris femoris*.

Верхний конец кости закруглен и получает название основания, *basis patellae*, нижний конец, образующий верхушку, *apex patellae*, несколько вытянут.



265. Проекция рентгенограммы костей правого коленного сустава на периферию колена

(Монтаж фото-рентген).



КОСТИ ГОЛЕНИ

Скелет голени составляют две кости — медиально расположена более толстая, большеберцовая кость, *tibia*, и латерально — тонкая, малоберцовая кость, *fibula s. perone*.

Большеберцовая кость

Большеберцовая кость, *tibia* (рис. 265—274), очень крупная, трубчатая, сочленяется вверху с бедренной костью и внизу с таранной костью стопы.

В ней различают, подобно бедренной кости, *тело*, *corpus tibiae*, и два конца — верхний и нижний, *extremitas superior* и *extremitas inferior*.

Тело кости, *corpus tibiae*, имеет вид трехгранный призмы, грани — гребешки которой хорошо выражены.

Передний гребешок, *crista anterior tibiae*, наиболее заострен и хорошо прощупывается под кожей (рис. 267). В проксимальном отделе его имеется шероховатая бугристость, *tuber ositas tibiae*. Лateralный, межкостный гребешок, *crista interossea*, направлен в сторону малоберцовой кости и является местом фиксации соединительнотканной пластины — мембрана *interossea*, натянутой между большой и малой берцовыми костями. Медиальный гребешок, *margo medialis*, более закруглен.

Указанными гребешками ограничиваются поверхности тела — задняя, *facies posterior*, передне-латеральная, *facies lateralis*, и передне-медиальная, *facies medialis*. Последняя, не будучи покрыта мышцами, легко доступна прощупыванию.

В верхнем отделе задней поверхности тела большеберцовой кости косо снаружи, сверху вниз и медиально направляется шероховатая *подколенная линия*, *linea poplitea*. Несколько ниже ее заметно *питательное отверстие*, *fora-*

266. Большеберцовая кость, *tibia*, и мало-берцовая кость, *fibula*, правые; спереди ($\frac{1}{2}$).



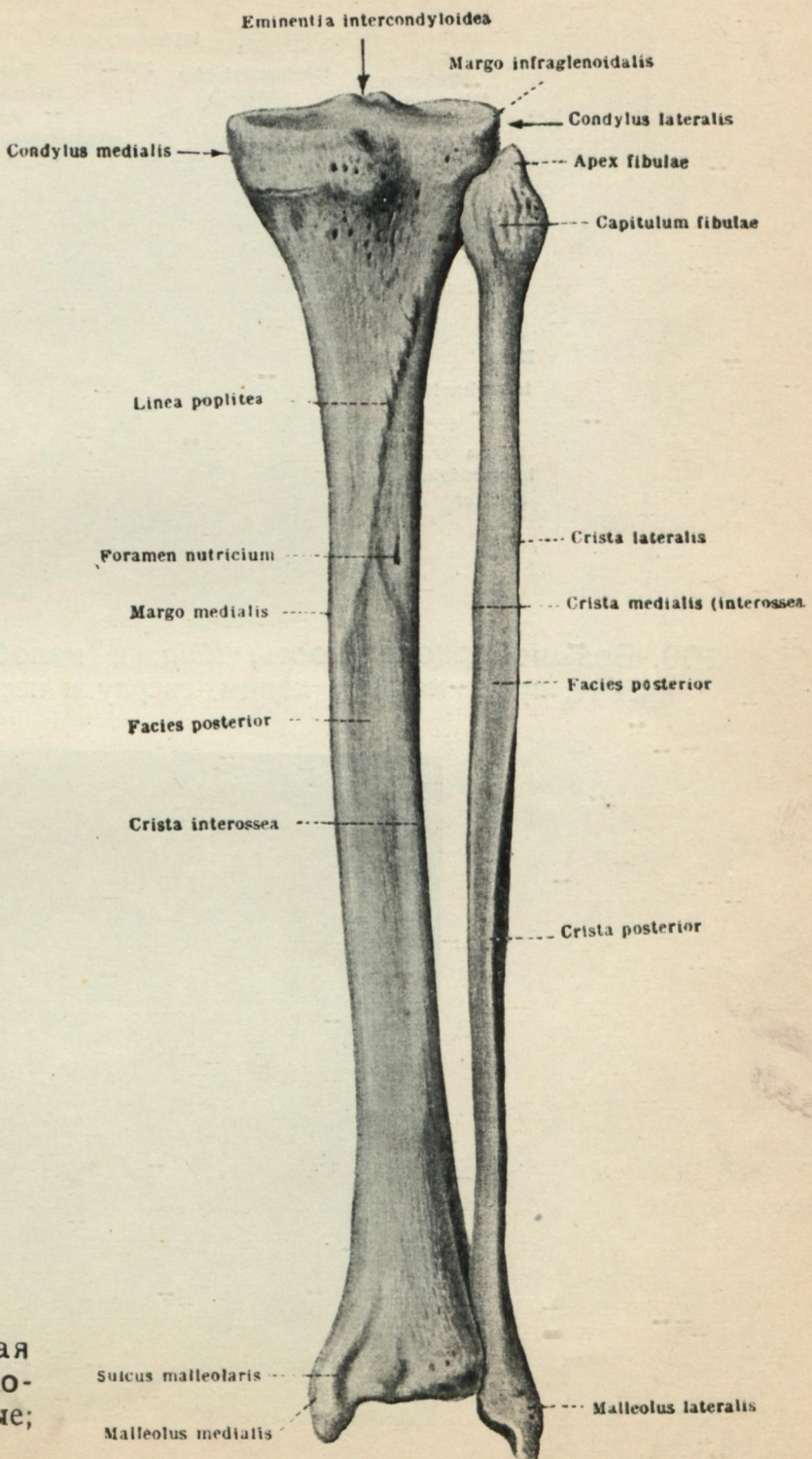
267. Прощупывание переднего гребешка большеберцовой кости, *crista anterior tibiae*.

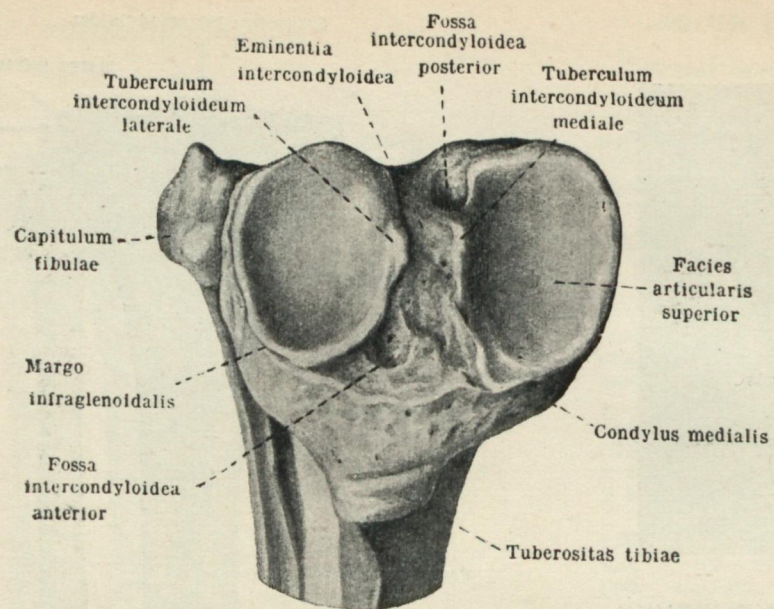
foramen nutricium, являющееся входом в питательный канал, *canalis nutritius*, направленный дистально.

Верхний, проксимальный, конец большеберцовой кости, *extremitas superior (s. proximalis) tibiae* (рис. 269, 270), утолщен и несет два суставных мышлока — внутренний и наружный, *condylus tibiae medialis* и *condylus tibiae lateralis*. Суставные поверхности последних отделены одна от другой межмышлковым выступом, *eminentia intercondyloidea*, в пределах которого выделяются внутренний и наружный бугорки, *tuberculum intercondyloideum mediale* и *laterale*.

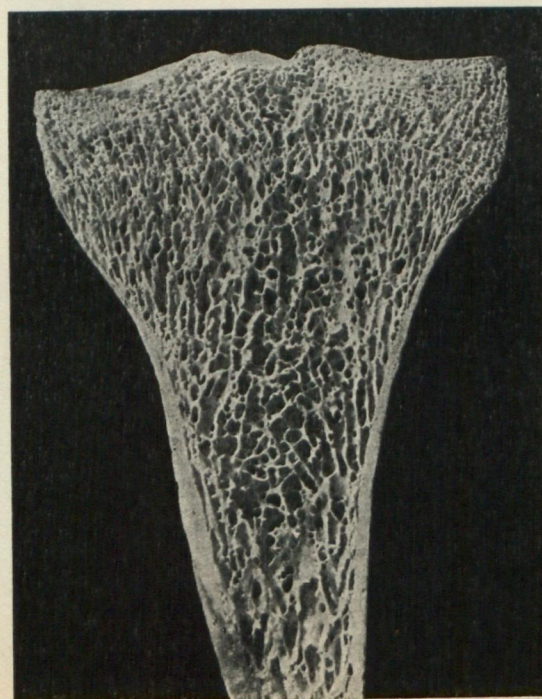
Кпереди от *eminentia intercondyloidea* имеется углубление

268. Большая берцовая кость, *tibia*, и малоберцовая кость, *fibula*, правые; сзади ($\frac{1}{2}$).

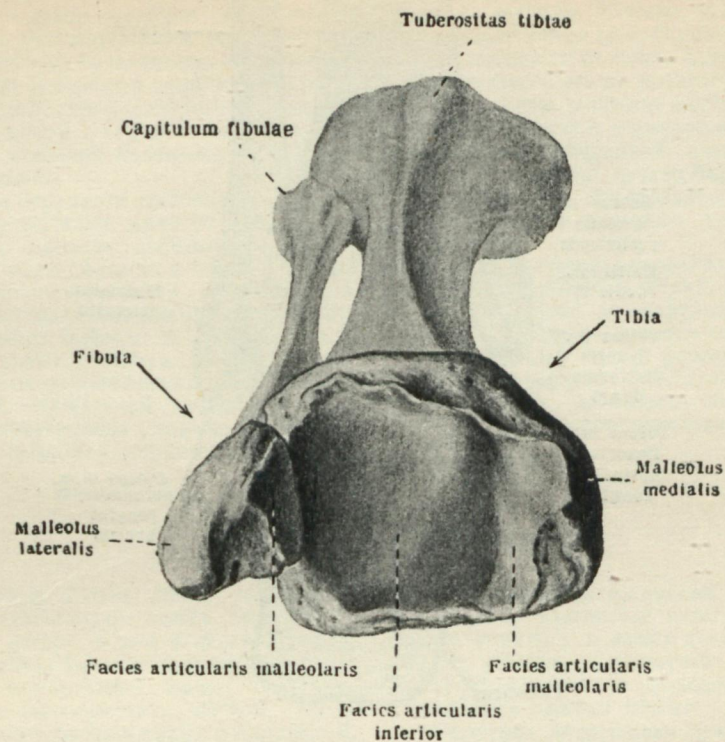




269. Большеберцовая кость, *tibia*, и малоберцовая кость, *fibula*, правые; проксимальные концы, сверху и несколько спереди ($\frac{2}{3}$).



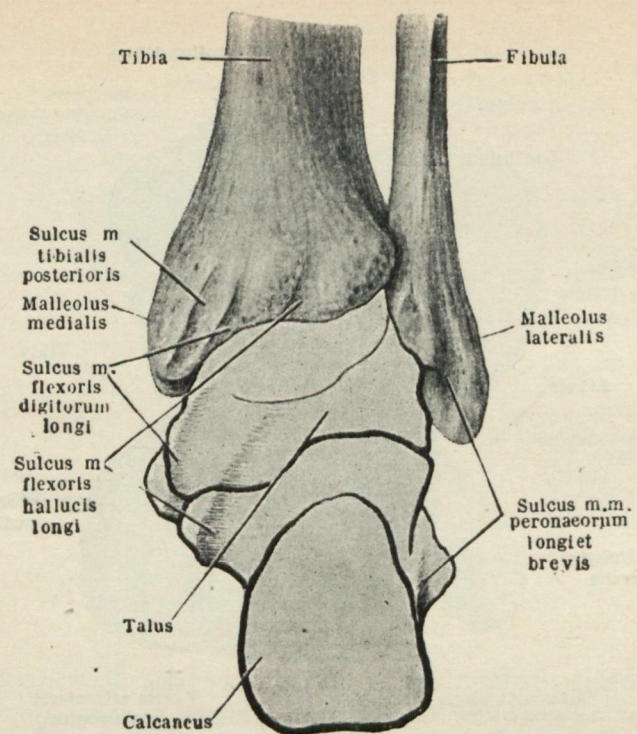
270. Фронтальный распил проксимального конца большеберцовой кости взрослого ($\frac{3}{4}$).



271. Большеберцовая кость, *tibia*, и малоберцовая кость, *fibula*, правые; дистальные концы, снизу и несколько спереди. ($\frac{9}{10}$).



272. Прощупывание *malleolus medialis*.



273. Большеберцовая кость, *tibia*, и малоберцовая кость, *fibula*, правые; дистальные концы, сзади ($\frac{2}{3}$).
[Отношение костей голени к таранной кости, *talus*.]



274. Прощупывание *malleolus lateralis*.

ямки с шероховатой поверхностью — передняя межмышцелковая ямка, *fossa intercondyloidea anterior*, и сзади — задняя межмышцелковая ямка, *fossa intercondyloidea posterior*.

Верхняя суставная поверхность большеберцовой кости, *facies articularis superior*, покрыта гиалиновым хрящом, край которого совпадает с заостренным краем верхней поверхности кости, и получает название подсочленового края, *margo infraglenoidalis*.

На боковой поверхности *epicondylus lateralis*, ниже *margo infraglenoidalis*, имеется небольшая, овальной формы, плоская суставная поверхность, *facies articularis fibularis*, с которой сочленяется проксимальным концом малоберцовая кость. Нижний, дистальный, конец большеберцовой кости, *extremitas inferior (s. distalis) tibiae* (рис. 271, 273), также утолщен. В медиальном отделе его имеется направленный книзу отросток, называемый внутренней лодыжкой, *malleolus medialis*. Внутренняя лодыжка хорошо заметна и прощупывается под кожей (рис. 272).

На латеральной поверхности нижнего конца большеберцовой кости имеется малоберцовая вырезка, *incisura fibularis*, к которой прилежит дистальный конец малоберцовой кости. На задней поверхности нижнего конца кости находятся две борозды, одна из которых, идущая по латеральному краю *malleolus medialis*, носит название *sulcus malleolaris* и образуется ходом сухожилия задней большеберцовой мышцы и длинного сгибателя пальцев; другая борозда, расположенная несколько латеральнее, образуется ходом сухожилия длинного сгибателя большого пальца.

Нижняя суставная поверхность кости, *facies articularis inferior tibiae* (рис. 271), покрыта гиалиновым хрящом и сочленяется с верхней поверхностью таранной кости стопы.

Гиалиновый хрящ распространяется и на боковую поверхность медиальной лодыжки, *facies articularis malleolaris*, которая сочленяется с медиальной поверхностью тела таранной кости.

Малоберцовая кость

В малоберцовой кости, *fibula (s. perone)* (рис. 265—274), различают также три части: среднюю, тело, *corpus*, и два конца — нижний и верхний, *extremitas superior* и *inferior*.

Тело кости, *corpus*, имеет форму трехгранной призмы с поверхностями: задней, *facies posterior*, внутренней, *facies medialis*, и наружной, *facies lateralis*. Вдоль тела кости тянутся четыре гребешка — передний, *crista anterior*, наружный, *crista lateralis*, внутренний, *crista medialis*, и межкостный, *crista interossea*.

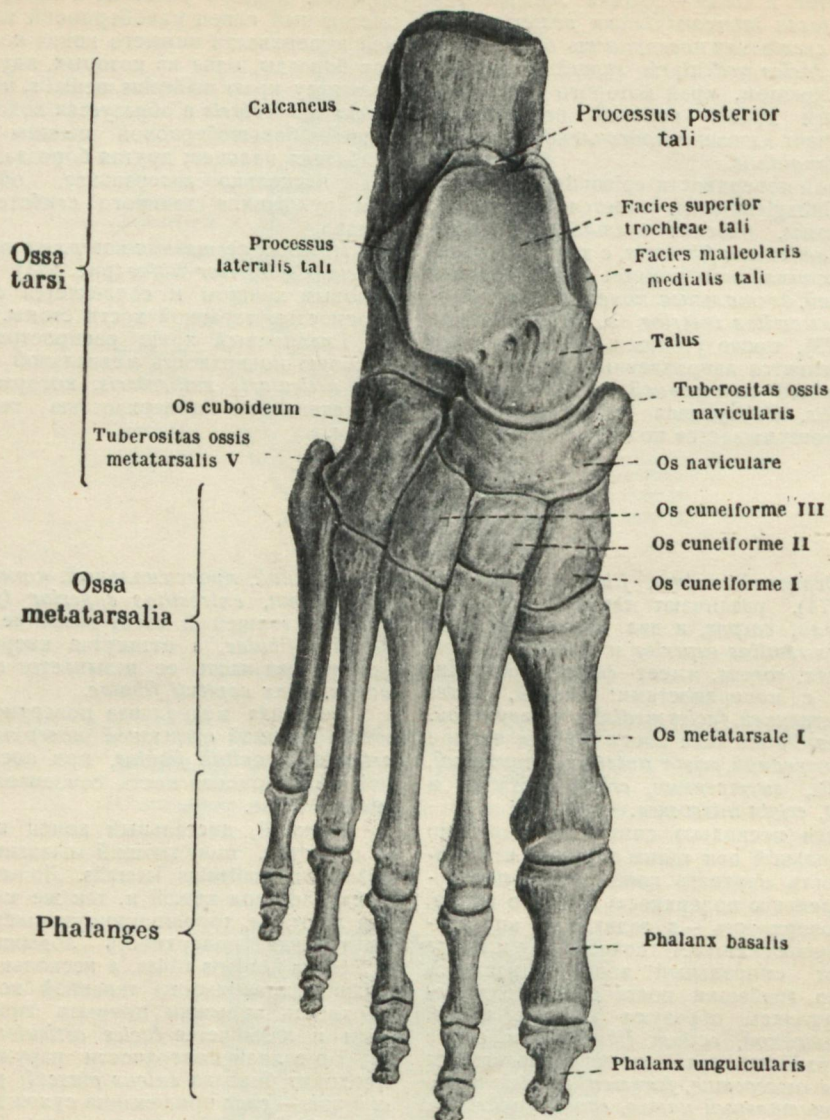
Тело кости несколько спирально скручено вокруг продольной оси таким образом, что задняя поверхность верхнего конца кости переходит во внутреннюю поверхность нижнего конца, наружная поверхность — в заднюю и внутреннюю — в переднюю. Соответственно этому и грани кости имеют спиральный ход. Направляясь проксимально, гребешки постепенно сходят на нет и, закругляясь, образуют участок кости, называемый шейкой, *collum fibulae*. Посредине задней поверхности тела кости располагается питательное отверстие, *foramen nutritium*, ведущее в питательный канал, *canalis nutritius*, направленный дистально.

Верхний, проксимальный, конец малоберцовой кости, *extremitas superior (s. proximalis) fibulae*, утолщен и носит название головки, *capitulum fibulae*, а оттянутая кверху несколько заостренная часть ее называется верхушкой головки, *apex capituli fibulae*.

Передняя медиальная поверхность головки занята плоской суставной поверхностью, *facies articularis capituli fibulae*, при посредстве которой малоберцовая кость сочленяется с *condylus lateralis tibiae*.

Нижний, дистальный конец кости вытянут в отросток, получающий название наружной лодыжки, *malleolus lateralis*. Лодыжка рельефно выступает под кожей и, так же как и внутренняя лодыжка, хорошо прощупывается (рис. 274). Внутренняя поверхность лодыжки прилежит к *incisura fibularis tibiae*, а несколько ниже к наружной поверхности таранной кости. Эта поверхность лодыжки покрыта гиалиновым хрящом и называется *facies articularis malleolaris*.

По задней поверхности наружной лодыжки проходит борозда *sulcus musculi peronaei longi et brevis* — след прилежания сухожилий короткой и длинной малоберцовых мышц.

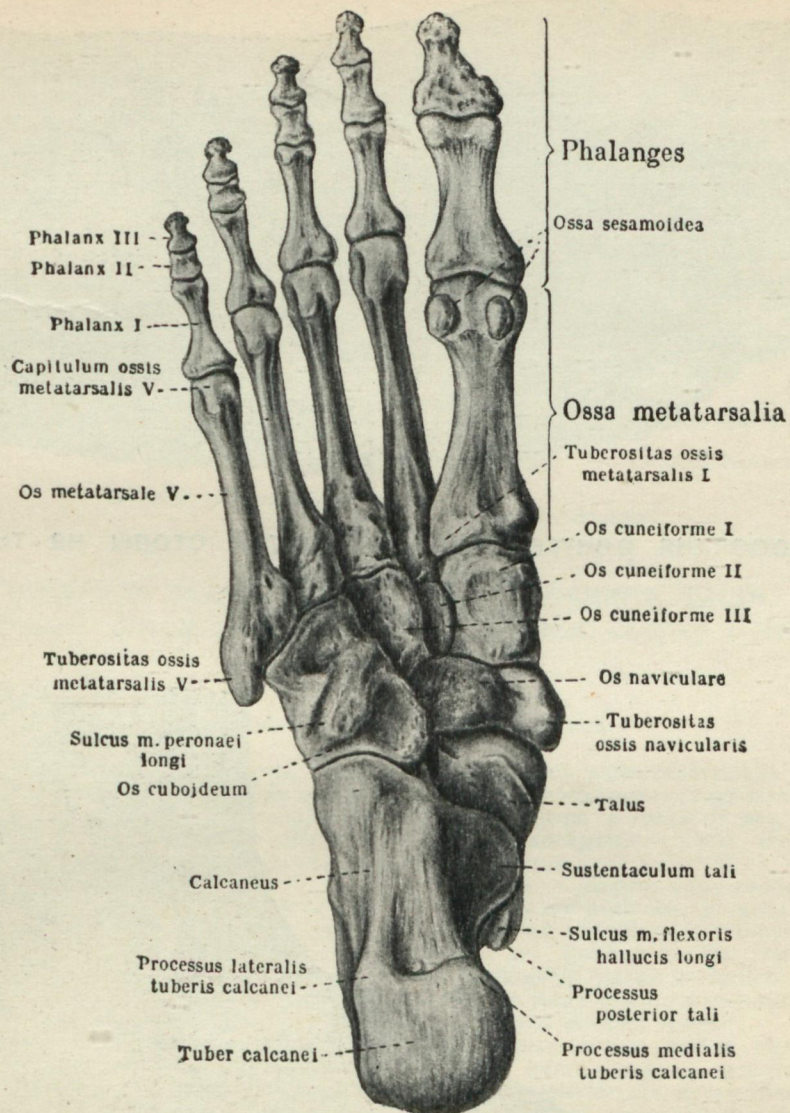


275. Кости стопы, *ossa pedis*, правая; тыльная (дорзальная) поверхность, *facies dorsalis* ($\frac{5}{9}$).

КОСТИ СТОПЫ

Скелет стопы образован 26 костями, которые делят на следующие группы: семь костей за- или предплюсны, *ossa tarsi*; пять костей плюсны, *ossa metatarsi*; четырнадцать фаланг пальцев,

phalanges digitorum. Кроме того, в состав скелета стопы входят 4—5 непостоянных мелких сесамовидных косточек.

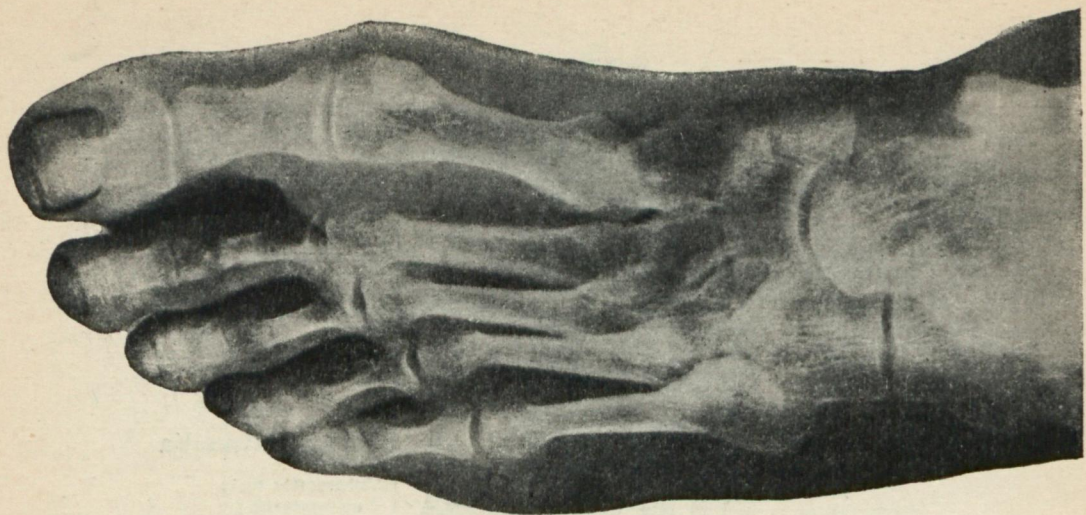


276. Кости стопы, *ossa pedis*, правая; подошвенная поверхность, *facies plantaris* (^{5/9}).

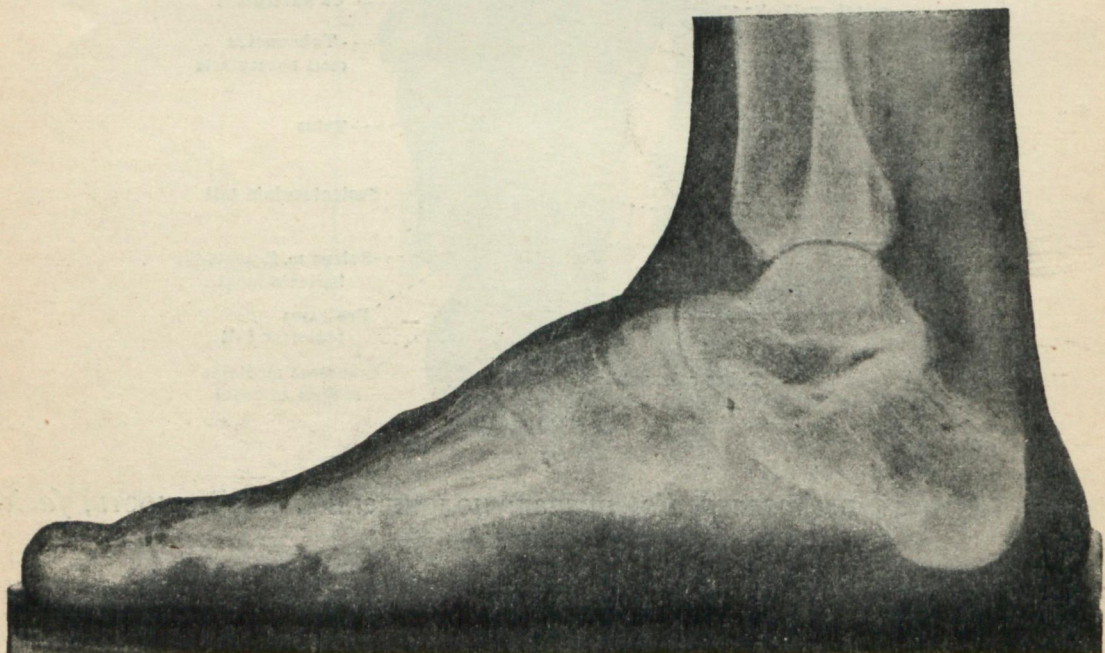
Кости за- или предплюсны

В состав скелета за- или предплюсны, *tarsus* (рис. 275—302), входят: таранная кость, *talus*, пятка, *calcaneus*, кубовидная кость, *os cuboideum*, ладьевидная кость, *os pa-*

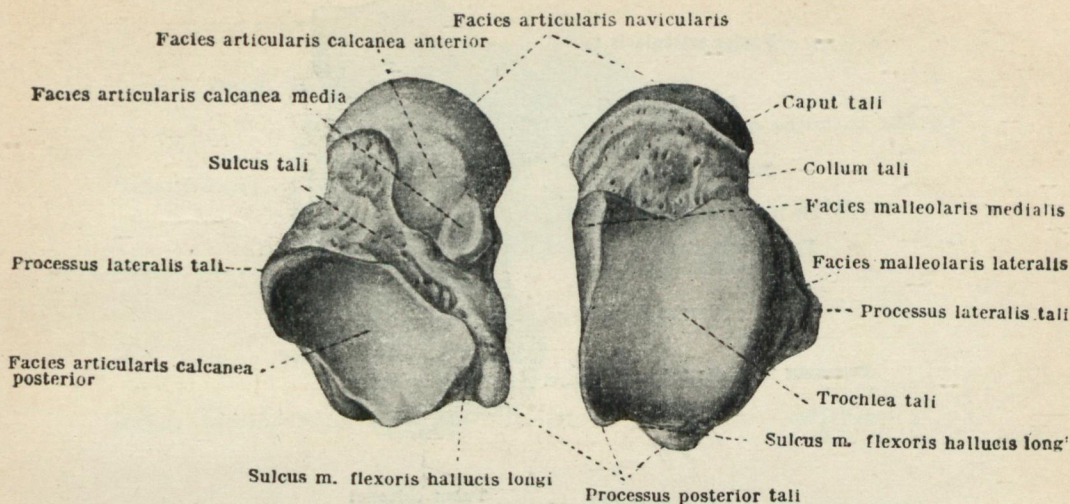
viculare, и три клиновидные кости, *os cuneiforme primum*, *os cuneiforme secundum* и *os cuneiforme tertium*.



277. Проекция рентгенограммы костей стопы на тыльную ее поверхность
(монтаж — фото-рентген).



277а. Проекция рентгенограммы костей стопы на внутреннюю ее поверхность
[монтаж — фото-рентген]



278. Таранная кость, *talus*,
правая; снизу ($\frac{9}{10}$).

279. Таранная кость, *talus*,
правая; сверху ($\frac{9}{10}$).

Таранная или надпяточная кость

Таранная или надпяточная кость, *talus* (рис. 278—279), имеет вид шестигранной, короткой кости. В ней различают: задний утолщенный отдел, *тело*, *согрьсъ тали*; передний — *головка*, *caput tali*, и промежуточную между ними суженную часть — *шейку*, *collum tali*.

Тело таранной кости имеет 6 поверхностей. Верхняя поверхность, *facies superior*, иначе блок, *trochlea tali*, выпукла в сагиттальном и вогнута во фронтальном направлении. Она покрыта гиалиновым хрящом и является местом сочленения с нижней суставной поверхностью большеберцовой кости.

Боковые поверхности тела таранной кости, *facies malleolaris medialis* и *facies malleolaris lateralis*, имеют вид плоских суставных поверхностей, покрытых гиалиновым хрящом. Они сочленяются соответственно с *malleolus medialis tibiae* и *malleolus lateralis fibulae*. На боковой поверхности тела, ниже *facies malleolaris lateralis*, имеется наружный отросток таранной кости, *processus lateralis tali*.

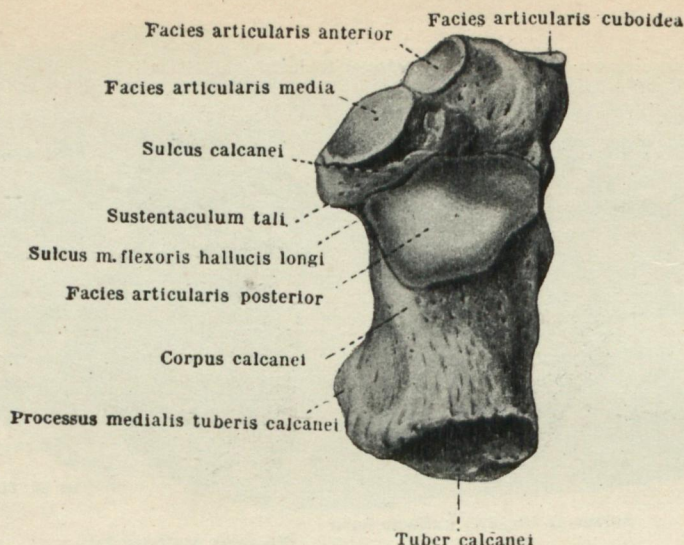
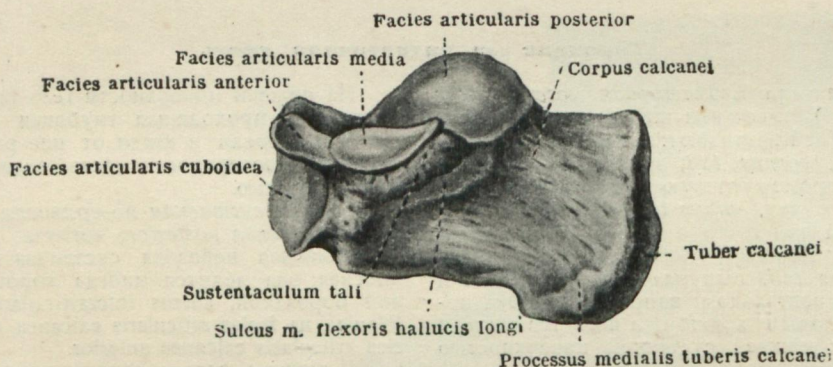
Указанные три суставные поверхности: *trochlea tali*, *facies malleolaris medialis* и *lateralis* обхватываются в виде вилки костями голени (рис. 273).

На нижней поверхности тела таранной кости видна косо проходящая глубокая борозда, *sulcus tali*; кпереди и кзади от нее располагаются суставные поверхности места сочленения с пяточной костью.

Задняя суставная поверхность, *facies articularis calcanea posterior*, вогнута.

Меньшая передняя суставная поверхность плоская; она делится иногда хорошо выраженной бороздкой, *sulcus interarticularis accessorius* (Henle), на *facies articularis calcanea medialis* и *facies articularis calcanea anterior*.

В нижнем отделе задней поверхности тела таранной кости имеется короткий отросток, *processus posterior tali*, делящийся косо проходящей бороздой *sulcus m. flexoris hallucis longi* на два бугорка, медиальный и латеральный, *tuberculum mediale* и *laterale* (на рисунке не размечены). Шейка, *collum tali*, отделена от тела перехватом, лучше выраженным на верхней и наружной поверхностях кости. Головка, *caput tali*, заканчивается в дистальном отделе сферической поверхностью, покрытой суставным хрящом, — суставная ладьевидная поверхность, *facies articularis navicularis*.

280. Пяточная кость, *calcaneus*, правая; сверху (4/5).281. Пяточная кость, *calcaneus*, правая; снутри (4/5).

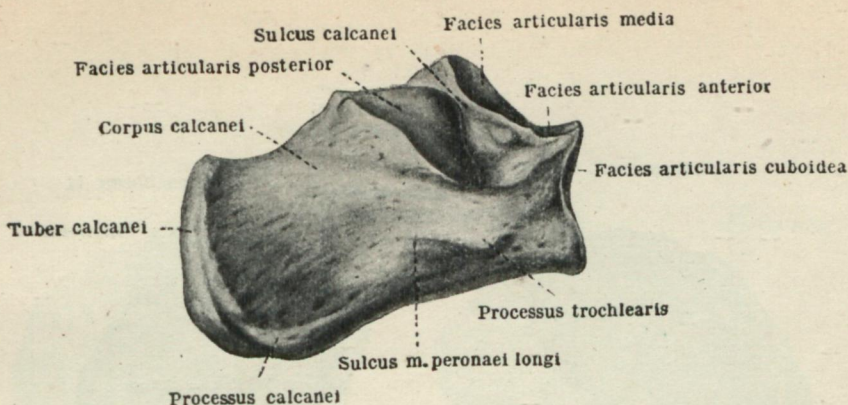
Пяточная кость

Пяточная кость, *calcaneus* (рис. 280—283), занимая задне-нижнее положение среди костей предплюсны, является самой крупной из всех костей стопы. Она состоит из задней, более мощной части,—*тела*, *corpus calcanei*, и передней, несколько истонченной части,—*processus anterior calcanei*.

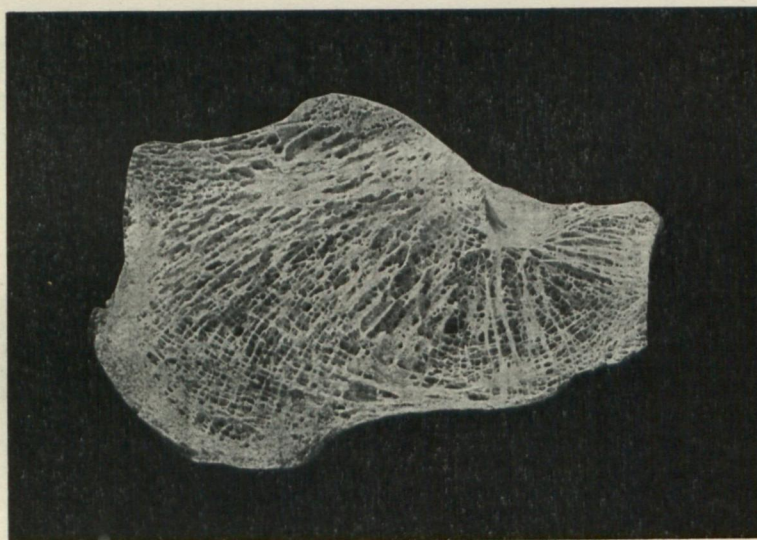
В теле пятой кости различают шесть поверхностей. От медиальной поверхности тела отходит отросток, поддерживающий тело таранной кости, *sustentaculum tali* (*sustento* — поддер-

живаю); он снизу окаймлен бороздой — *sulcus musculi flexoris hallucis longi*.

Верхняя поверхность пятой кости несет три суставные поверхности, соответствующие таковым на таранной кости: *медиальную*, *facies articularis medialis*, расположенную на верхней поверхности *sustentaculum tali*; *переднюю*, *facies articularis anterior*, лежащую на верхней поверхности *processus anterior calcanei*, и *заднюю*, *facies articularis posterior*, занимающую задний отдел верхней поверхности пятой кости. По-



282. Пяточная кость, *calcaneus*, правая; снаружи ($^{4}/5$).



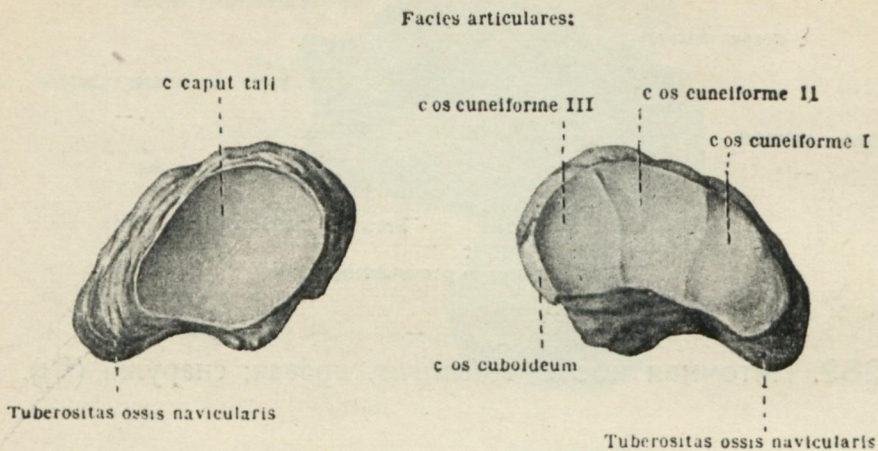
283. Сагиттальный распил правой пяточной кости взрослого.

следняя отделена от медиальной и передней суставных поверхностей пяточной кости глубокой, косо проходящей бороздой, *sulcus calcanei*. Борозда эта соответствует *sulcus tali*, и при накладывании таранной кости на пяточную за счет обеих борозд образуется углубление — заплюсневая пазуха, *sinus tarsi*, выполненная плотной соединительной тканью. Пазуха эта прощупывается через кожу в виде небольшого углубления (рис. 297, 298).

Всю заднюю (проксимальную) и отчасти нижнюю поверхности пяточной кости занимает

хорошо выраженный пяточный бугор, *tuber calcanei*, расширяющийся на стороны в два отростка — *processus medialis* и *processus lateralis tuberis calcanei*. На латеральной поверхности тела пяточной кости заметен не резко выраженный блоковой отросток, *processus trochlearis*, под которым проходит борозда сухожилия длинной малоберцовой мышцы, *sulcus m. peronaei longi*.

Передняя (дистальная) поверхность кости занята суставной поверхностью, сочленяющейся с кубовидной костью, *facies articularis cuboidea*.



284. Ладьеобразная кость, *os naviculare*, правая; проксимальная поверхность (задняя) ($\frac{4}{5}$).

285. Ладьеобразная кость, *os naviculare*, правая; дистальная поверхность (передняя) ($\frac{4}{5}$).

Ладьеобразная кость

Ладьеобразная кость, *os naviculare* (s. *sca-phoidum*) (рис. 284, 285), имеет вид короткой кости, слегка выпуклой по направлению к тылу стопы. Она занимает медиальное положение среди костей предплюсны.

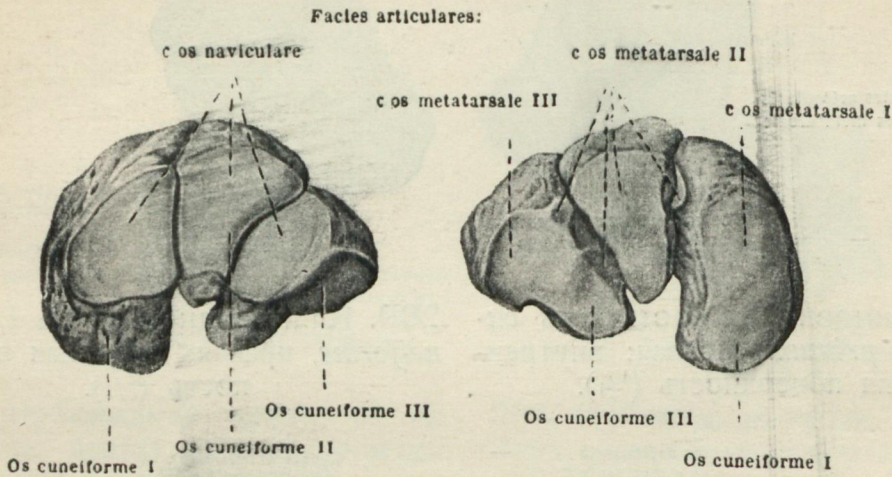
Передней (дистальной) поверхностью она сочленяется с тремя клиновидными костями, задней (проксимальной) — с головкой таранной кости и латеральной — с кубовидной костью.

Указанные поверхности ладьеобразной кости покрыты суставным хрящом и, сочленяясь с перечисленными костями, получают соответствующие названия: *facies articulares cuneiformia*, *facies articularis tali*, *facies articularis cuboidea*. Нижне-медиальная поверхность несет хорошо заметную через мягкие покровы бугристость, *tuberositas ossis navicularis*.

Клиновидные кости

Клиновидных костей три (рис. 286, 287): первая, *os cuneiforme primum*, вторая, *os cuneiforme secundum*, и третья, *os cuneiforme tertium*. Они за-

нимают также медиальное положение среди костей предплюсны и, направляясь от внутренней к наружной сторонам стопы, залегают дистальнее



286. Клиновидные кости I, II и III, ossa cuneiformia — primum, secundum, tertium, правые; проксимальная поверхность (задняя) ($\frac{3}{4}$).

ладьевидной кости. Форма их клиновидна, причем острая грань клина у второй и третьей клиновидных костей направлена в сторону подошвы, у первой — в сторону тыла стопы. Из трех клиновидных костей самой короткой является вторая, благодаря чему передние концы клиновидных костей заканчиваются не на одном уровне.

Первая клиновидная кость, *os cuneiforme primum* (рис. 288, 289), — самая медиальная по положению и самая крупная по размерам; передней поверхностью она сочленяется с основанием первой плюсневой кости большого пальца, задней поверхностью — с ладьевидной костью и наружной поверхностью — со второй клиновидной костью и частично с боковой поверхностью основания второй плюсневой кости.

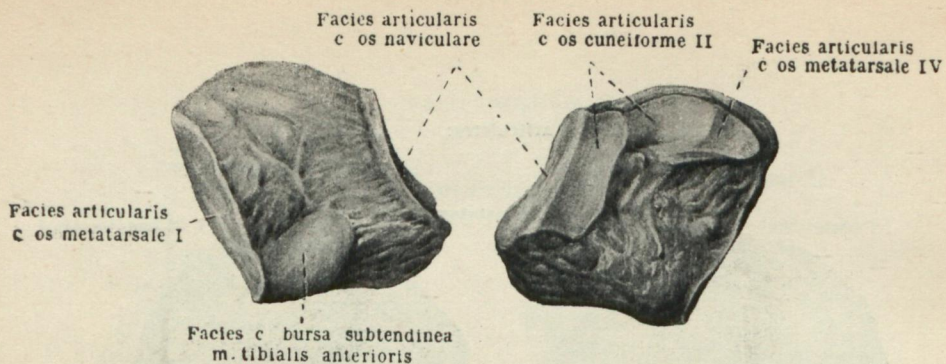
Указанные поверхности покрыты суставным хрящом.

287. Клиновидные кости I, II и III ossa cuneiformia — primum, secundum и tertium, правые; дистальная поверхность (передняя) ($\frac{3}{4}$).

Вторая клиновидная кость, *os cuneiforme secundum* (рис. 290, 291), сочленяется передней поверхностью с основанием второй плюсневой кости, задней — с ладьевидной костью, внутренней — с первой и наружной поверхностью — с третьей клиновидными костями.

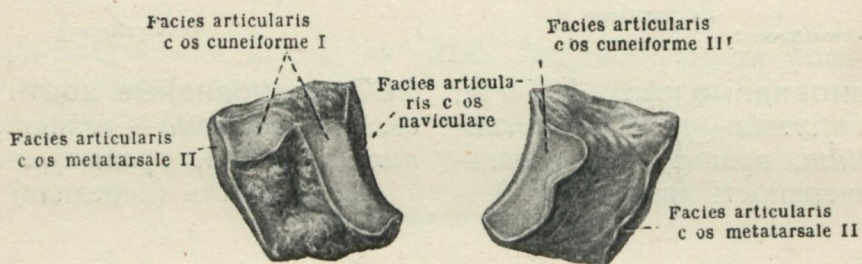
Указанные поверхности также покрыты суставным хрящом.

Третья клиновидная кость, *os cuneiforme tertium* (рис. 292, 293), сочленяется передней поверхностью с основанием третьей и частично четвертой плюсневых костей, задней — с ладьевидной костью, внутренней — со второй клиновидной костью и частично с боковой поверхностью основания второй плюсневой кости и наружной поверхностью — с кубовидной костью.



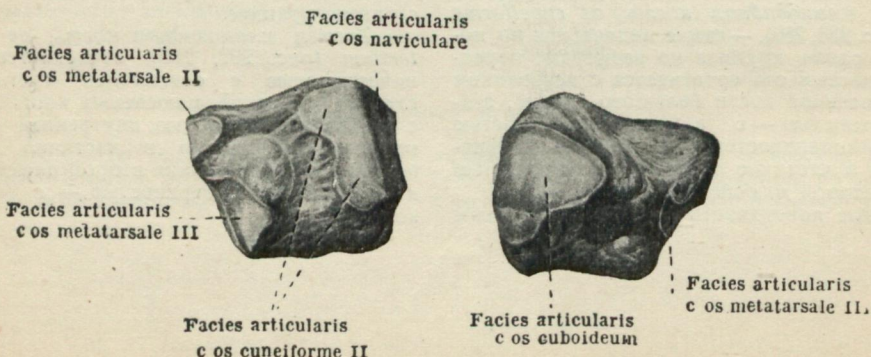
288. Клиновидная кость I, *os cuneiforme primum*, правая; внутренняя поверхность ($^1/1$).

289. Клиновидная кость I, *os cuneiforme*, правая; наружная поверхность ($^1/1$).



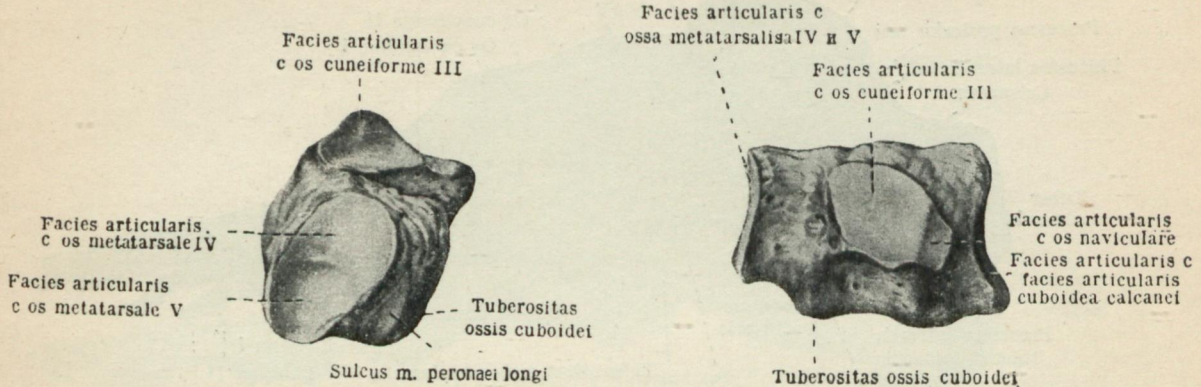
290. Клиновидная кость II, *os cuneiforme secundum*, правая; внутренняя поверхность ($^1/1$).

291. Клиновидная кость II, *os cuneiforme secundum*, правая; наружная поверхность ($^1/1$).



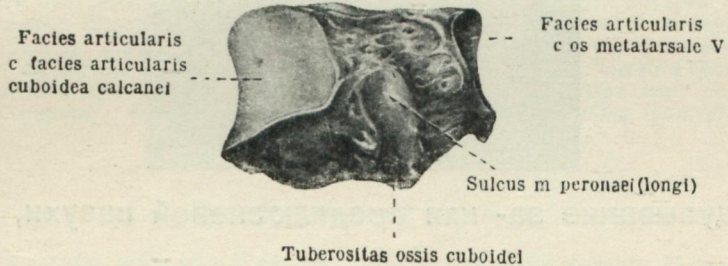
292. Клиновидная кость III, *os cuneiforme tertium*, правая; наружная поверхность ($^1/1$).

293. Клиновидная кость III, *os cuneiforme tertium*, правая; наружная поверхность ($^1/1$).



294. Кубовидная кость, *os cuboideum*, правая; внутренне-передняя поверхность (1/1).

295. Кубовидная кость, *os cuboideum*, правая; внутренняя поверхность (1/1).



296. Кубовидная кость, *os cuboideum*, правая; наружно-нижняя поверхность (1/1).

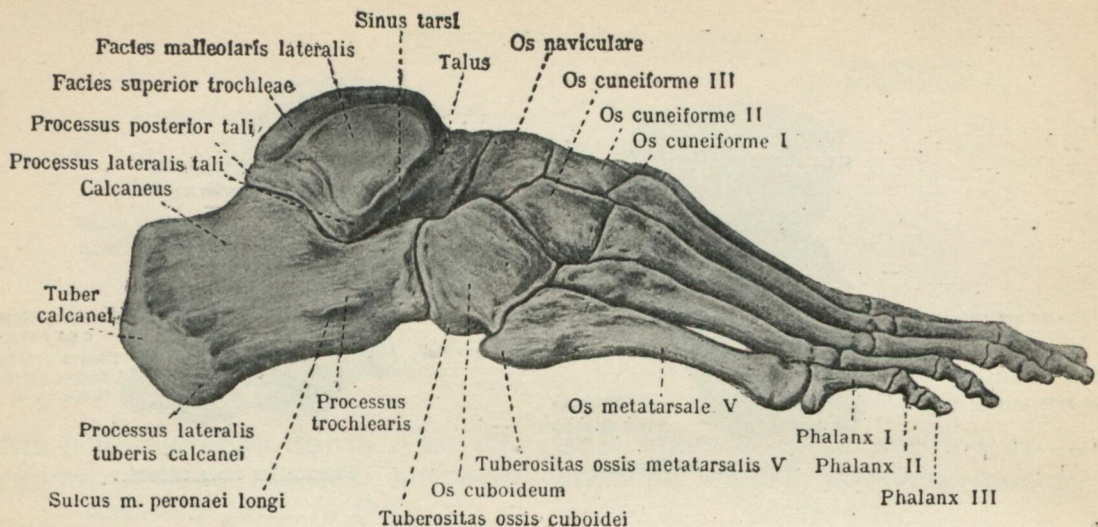
Кубовидная кость

Кубовидная кость, *os cuboideum* (рис. 294—296), располагается у латерального края стопы, кпереди от пяткочной кости. Форма ее неправильно-кубовидная; латеральный свободный край ее несколько короче медиального.

Медиальной поверхностью она сочленяется с третьей клиновидной и ладьевидной костями, дистальной — с основаниями четвертой и пятой плюсневых костей и проксимальной — с пяткочной костью.

Верхняя, тыльная, поверхность кости выпукла.

На нижней, подошвенной, поверхности имеется бугристость, *tuberositas ossis cuboidei*, кпереди от которой заметна борозда, *sulcus m. peronaei longi*. Борозда эта, залегая косо сзади, и снаружи, наперед и внутрь, направляется через всю нижнюю, подошвенную поверхность кубовидной кости.



297. Кости стопы, *ossa pedis*, правая; тыльно-наружная поверхность ($\frac{1}{2}$).



298. Прощупывание за- или предплюсневой пазухи, *sinus tarsi*.

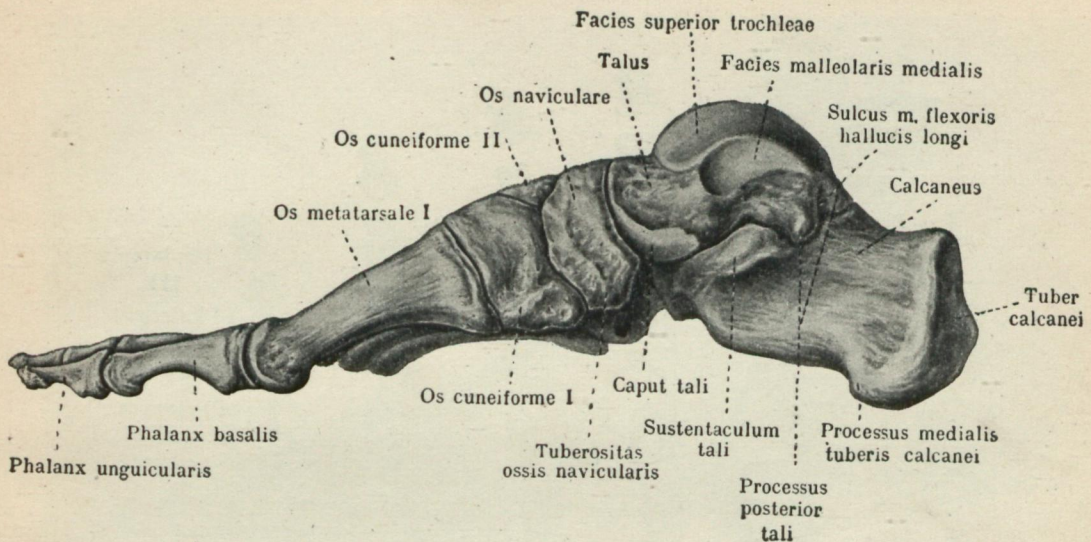
Плюсневые кости

Плюсневые кости, *ossa metatarsalia* (рис. 297—303), в числе пяти (*ossa metatarsalia*—primum, secundum, tertium, quartum и quintum), располагаются дистальнее костей предплюсны и проксимальнее фаланг пальцев и составляют центральную часть скелета стопы (рис. 275—277). Они имеют вид коротких трубчатых костей. Вторая плюсневая кость несколько длиннее остальных; она вклиняется своим основанием между первой и третьей клиновидными костями. Первая плюсневая кость большого пальца является самой толстой и одновременно короткой среди костей плюсны.

В плюсневых костях различают среднюю часть, *тело*, *corpus*, задний, проксимальный, конец—*основание*, *basis*, и передний, дистальный конец—*головку*, *capitulum*.

Тела плюсневых костей трехгранны. Одна из граней тела, наиболее заостренная, направлена в сторону подошвенной поверхности. Тыльная поверхность тела слегка выпукла. Пространства между телами плюсневых костей называют межкостными промежутками плюсны, *spatia interossea metatarsi*.

Основания плюсневых костей клинообразной формы, причем клин у первых четырех костей направлен острием книзу, а у пятой—латерально. Острие клина у основания пятой плюсневой кости вытянуто в длинный, хорошо прощупываемый бугорок, *tuberositas ossis metatarsalis V*. На подошвенной поверхности основания первой плюсневой кости имеется бугристость, *tuberositas ossis metatarsalis I*.



299. Кости стопы, *ossa pedis*, правая; внутренняя поверхность ($\frac{1}{2}$).

Плюсневые кости сочленяются основаниями с костями предплюсны. Поверхности эти покрыты суставным хрящом. Головки плюсневых костей имеют вид сферических поверхностей и сочленяются с основаниями первых фаланг пальцев. Головка первой плюсневой кости

хорошо прощупывается через кожу (рис. 302). По бокам подошвенной поверхности головки первой плюсневой кости имеются две гладких площадки, также выстланные суставным хрящом. К этим площадкам прилежат *сесамовидные kostочки*, *ossa sesamoidea* (рис. 276).

Фаланги пальцев стопы

Фаланги пальцев стопы, *phalanges digitorum pedis* (рис. 275—277, 300—302), по длине уступают фалангам пальцев руки. Аналогично пальцам руки, первый, большой палец имеет две фаланги, а остальные пальцы по три: основную, или *первую фалангу*, *phalanx prima*, среднюю, или *вторую фалангу*, *phalanx secunda*, и третью, или ногтевую, *phalanx tertia*, или *phalanx unguis-*

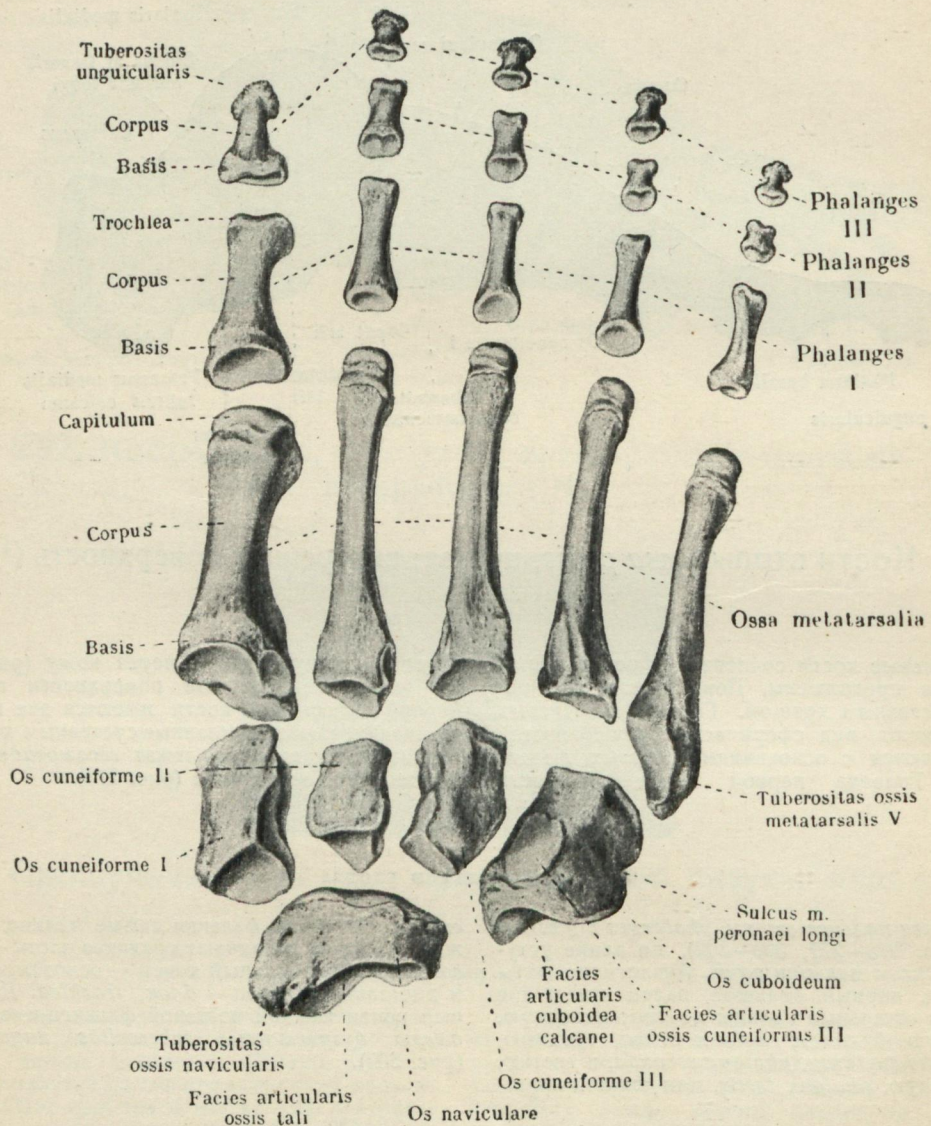
cularis. Ногтевые фаланги самые мелкие. В каждой фаланге различают среднюю часть — *тело*, *corpus*, проксимальный конец — *основание*, *basis*, и дистальный конец — *блок*, *trochlea*. Дистальный конец каждой ногтевой фаланги имеет *ногтевую бугристость*, *tuberositas unguicularis* (рис. 300).

Сесамовидные кости стопы

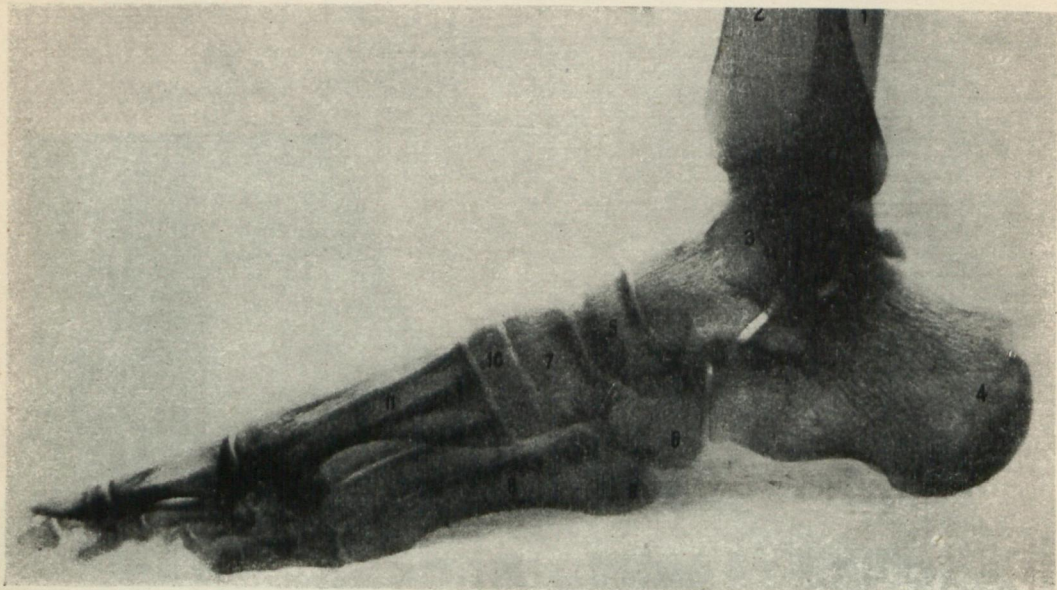
Постоянными *сесамовидными kostями*, *ossa sesamoidea*, являются две кости, каждая размером до горошины, лежащие под боковыми поверхностями головки первой плюсневой кости (рис. 276).

Кроме того, в ряде случаев имеется маленькая сесамовидная kostочка в межфаланговом сочленении первого пальца;

непостоянными сесамовидные кости наблюдаются в сухожилии длинной малоберцовой мышцы, *m. peroneus longus*, в том месте, где это сухожилие ложится в соответствующую борозду на подошвенной поверхности кубовидной кости; иногда наблюдается сесамовидная kostочка в конечном участке сухожилия задней большеберцовой мышцы, *m. tibialis posterior*.

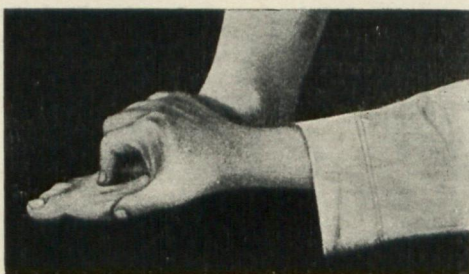


300. Кости за- или предплюсны (дистальный ряд), *ossa tarsi*, кости плюсны, *ossa metatarsalia*, и фаланги пальцев ног, *phalanges digitorum pedis*, правые; тыльная поверхность ($\frac{2}{3}$).

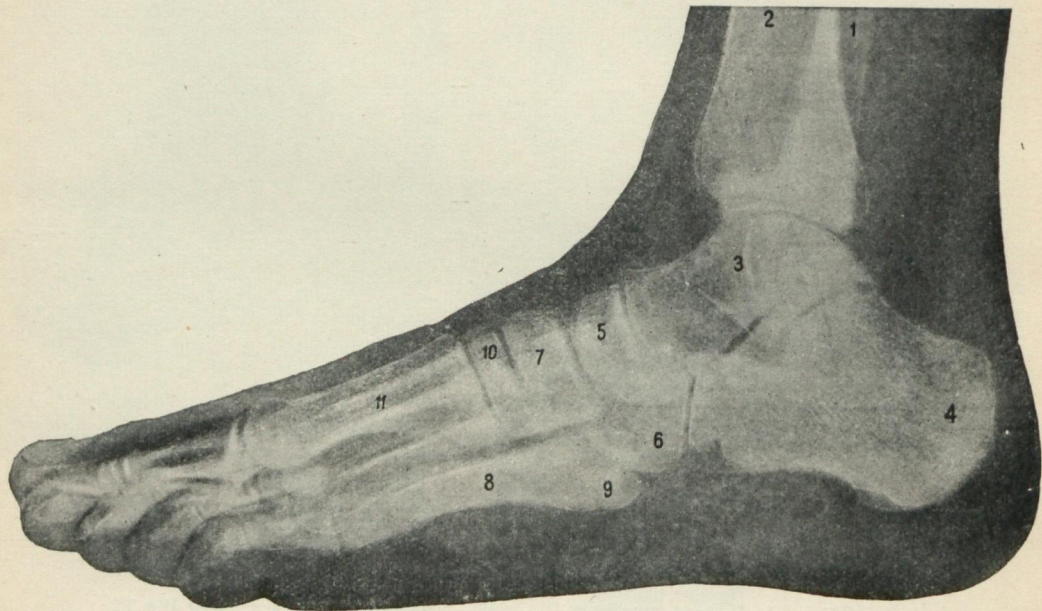


301. Стопа взрослого (профиль)
(рентгеновский снимок).

- | | | |
|---------------|---------------------|---|
| 1 — fibula | 5 — os naviculare | 9 — tuberositas (s. processus styloideus) плюсневой V |
| 2 — tibia | 6 — os cuboideum | 10 — зона налегания os cuneiforme II и III |
| 3 — talus | 7 — os cuneiforme I | 11 — плюсневая II |
| 4 — calcaneus | 8 — плюсневая V | |



302. Прощупывание головки первой плюсневой кости.



303. Проекция рентгенограммы костей левой стопы на тыльную поверхность

(монтаж фото-рентген).

- | | | |
|---------------|----------------------|--|
| 1 — fibula | 5 — os naviculare | 9 — tuberositas (s. processus styloideus)
плюсневой V |
| 2 — tibia | 6 — os cuboideum | 10 — зона налегания os cuneiforme I, II |
| 3 — talus | 7 — os cuneiforme I | 11 — первая плюсневая кость. |
| 4 — calcaneus | 8 — os metatarsale V | |